

## บทที่ 2

### เอกสารและงานวิจัยที่เกี่ยวข้อง

#### แนวคิดและทฤษฎี

##### 2.1 เทคโนโลยีเซลล์เชือเพลิง [1]

เซลล์เชือเพลิง คือเครื่องมือหรืออุปกรณ์ที่ใช้ผลิตกระแสไฟฟ้าโดยอาศัยปฏิกิริยาไฟฟ้าเคมี (Electrochemical reaction) ที่มีลักษณะการทำงานคล้ายคลึงกับแบตเตอรี่ (Battery) นั่นเอง กล่าวอีกนัยหนึ่ง เซลล์เชือเพลิงจะทำงานที่เปลี่ยนพลังงานเคมีของเชือเพลิงให้กลายเป็นไฟฟ้า กระแสตรง (Direct current) เซลล์เชือเพลิงมีลักษณะการทำงานคล้ายกับแบตเตอรี่อีกอย่างหนึ่ง ก็คือ เซลล์เชือเพลิงสามารถผลิตเป็นหน่วยเด็กๆ แล้วสามารถนำมาต่อเข้าด้วยกันในกรณีที่ต้องการ เพิ่มกำลังการผลิตกระแสไฟฟ้า แต่เซลล์เชือเพลิงมีลักษณะที่แตกต่างกับแบตเตอรี่ตรงที่เซลล์เชือเพลิงสามารถผลิตกระแสไฟฟ้าได้อย่างต่อเนื่องตราบเท่าที่มีการป้อนเชือเพลิงในรูปของเหลวหรือแก๊สเข้าไปอย่างสม่ำเสมอ นอกจากนี้ข้ออิเล็กโทรด (Electrode) ในเซลล์เชือเพลิงจะไม่ถูกใช้หมดไป เซลล์เชือเพลิงนับว่าเป็นเทคโนโลยีที่ล้ำหน้าทันสมัย ด้วยเหตุผลง่ายๆ 3 ประการคือ “ประสิทธิภาพสูง สะอาด เงียบ”

เซลล์เชือเพลิงไม่ก่อให้เกิดสารพิษต่างๆ ผลที่ได้จากปฏิกิริยาคือน้ำ ( $H_2O$ ) แก๊สที่ปล่อยออกมายากเซลล์เชือเพลิงจะมีปริมาณของแก๊สชัลเฟอร์ไดออกไซด์ ( $SO_2$ ) แก๊สคาร์บอนมอนอกไซด์ ( $CO$ ) และแก๊สไนโตรเจนออกไซด์ ( $NO_x$ ) ต่ำกว่าระดับมาตรฐานความปลอดภัยที่กำหนดโดย กองควบคุมมลพิษ

เซลล์เชือเพลิงสามารถผลิตเป็นหน่วยเด็กๆ ที่เรียกว่าโมดูล (Module) และสามารถนำมาต่อเข้าด้วยกันได้ จึงทำให้ผู้ซื้อสามารถสั่งซื้อเซลล์เชือเพลิงได้ตามกำลังความต้องการและสามารถสั่งเพิ่มในกรณีที่ต้องการเพิ่มกำลังการผลิต นอกจากนี้เซลล์เชือเพลิงไม่ต้องการเนื้อที่ในการติดตั้งมากนักเราสามารถที่จะแยกเอาแต่ละโมดูลไปติดตั้งยังส่วนอื่นๆ ได้ ยกตัวอย่างเช่น เซลล์เชือเพลิงที่มีกำลังการผลิต 2 เมกะวัตต์ (MW) จะต้องการเนื้อที่ในการติดตั้งประมาณสามแทนนิส

##### 2.2 การทำงานของเซลล์เชือเพลิง [1]

ในเซลล์เชือเพลิงประกอบด้วยข้ออิเล็กโทรดที่มีความพูน 2 ข้อ คือแคโทด (Cathode) และแอนโอด (Anode) จุ่มหรือสัมผัสกับสารอิเล็กโทรไลต์ซึ่งอาจเป็นของเหลวและ/หรือของแข็ง

เชื้อเพลิงได้แก่ แก๊สธรรมชาติหรือไออกซิเจนจะถูกป้อนเข้าไปยังขั้วแอดโนด ในขณะที่ตัวออกซิไดร์ (Oxidant) จะถูกป้อนเข้าไปยังขั้วแคโทด จากนั้นแก๊สไออกซิเจนจะเกิดปฏิกิริยาออกซิเดชัน (Oxidation) โดยจะมีการให้หรือปล่อยอิเล็กตรอน (Electron) ที่ขั้วแอดโนดดังแสดงในสมการที่ 2.1 ในขณะที่ปฏิกิริยาเรียดักชัน (Reduction) ของแก๊สออกซิไดร์ซึ่งเกิดขึ้นที่ขั้วแคโทดจะเป็นตัวรับอิเล็กตรอนดังแสดงในสมการที่ 2.2



จากปฏิกิริยาทั้งสองข้างต้น จะก่อให้เกิดไฟฟ้ากระแสตรง โดยที่ขั้วอิเล็กโทรดทำหน้าที่เสมือนเป็นแหล่งปฏิกิริยา (Reaction sites) เพื่อให้เกิดการเปลี่ยนแปลงทางไฟฟ้าเคมีของเชื้อเพลิงและตัวออกซิไดร์ขึ้น จะเห็นว่าออกซิเจนจะทำปฏิกิริยากับไออกซิเจนไอออนแล้วจะเกิดเป็นน้ำและทุกๆ หนึ่งโมลของน้ำที่เกิดขึ้นจะเกี่ยวข้องกับอิเล็กตรอนจำนวน 2 ตัว

แรงดันไฟฟ้า (Voltage) ที่ผลิตขึ้นในเซลล์เชื้อเพลิง จะขึ้นอยู่กับค่าพลังงานเสรีของกิบบ์ (Gibb's free energy) ของเชื้อเพลิง ค่าแอคติวิตี้ (Activities) ของสารตั้งต้น ตลอดจนกระแสไฟฟ้าที่ถูกดึงออก การประยุกต์การใช้งานของเซลล์เชื้อเพลิงส่วนใหญ่มักต้องการให้ได้แรงดันไฟฟ้าเป็นแบบกระแสสลับ (Alternating current power หรือ AC) ดังนั้นไฟฟ้ากระแสตรงที่ได้จากเซลล์เชื้อเพลิง จึงต้องถูกนำมาเปลี่ยนให้เป็นไฟฟ้ากระแสสลับโดยใช้เครื่องผกผัน (Inverter)

### 2.3 โพลาไรเซชัน (Polarization) [2]

เมื่อเซลล์เชื้อเพลิงจ่ายกระแสไฟฟ้าแก่วงจรภายนอก ความต่างศักย์คร่อมเซลล์จะลดลงเรียกว่าเกิดโพลาไรเซชัน เนื่องจากเซลล์เชื้อเพลิงมีความต้านทานภายในเซลล์ เมื่อมีกระแสไฟฟ้าไหลออกจากการเซลล์ ศักย์ไฟฟ้าบางส่วนจะตกคร่อมความต้านทานภายในเซลล์ตามกฎของโอนัมแสดงดังสมการที่ 2.3

$$E = IR + Ir \quad -----2.3$$

แสดงว่าขณะจะรีบเดล์มีแรงเคลื่อนไฟฟ้า E ไวลด์ เมื่อนำความต้านทานภายนอก R

โอล์ม มาต่อปิดวงจรจะทำให้ความต่างศักย์ไฟฟ้าคร่อมเซลล์มีค่าเป็น IR โอล์ต์ ซึ่งลดลงจากเดิมโดยมีกระแสไฟฟ้า I แอมเปอร์ ให้ลดผ่านเซลล์และความต่างศักย์ไฟฟ้าที่ตัดคร่อมความต้านทานภายในเซลล์เป็น Ir โอล์ต์ เมื่อเซลล์เชื่อมเพลิงมีความต้านทานภายในเซลล์เป็น r โอล์ม ดังนั้นในการทำงานเซลล์เชื่อมเพลิงจะสูญเสียกำลังไฟฟ้าไป Ir โอล์ต์ สมอ ถ้าสามารถลดความต้านทานภายในเซลล์ลงได้การสูญเสียพลังงานก็จะลดลง

### 2.3.1 พลาไวเรชันทางเคมี (Chemical polarization)

พลาไวเรชันแบบนี้บางครั้งเรียกว่า แยกตัวเรียน พลาไวเรชัน (Activation polarization) พลาไวเรชันแบบนี้เกิดจากอัตราเร็วของปฏิกิริยาเคมีมีค่าต่ำ ซึ่งอาจเกิดขึ้นในขั้นตอนใดขั้นตอนหนึ่งหรือหลายขั้นตอนในปฏิกิริยาอยู่ดัง เช่นที่ข้างบนมีปฏิกิริยาเป็นดังสมการที่ 2.4



ขณะที่วงจรเปิดไม่มีกระแสไฟฟ้าไหลผ่านเซลล์ อัตราการเกิดปฏิกิริยาตามสมการ 2.4 จากชั้ยไปขวาและจากขวาไปชั้ยมีค่าเท่ากัน เพราะอยู่ในภาวะสมดุล เมื่อมีกระแสไฟฟ้าไหลออกจากเซลล์ อัตราการเกิดปฏิกิริยาจากชั้ยไปขวาจะมากกว่าปฏิกิริยาจากขวาไปชั้ย และศักย์ไฟฟ้าจะลดลงจนคงที่ (Steady state) ส่วนจะลดลงมากหรือน้อยขึ้นอยู่กับอัตราเร็วของปฏิกิริยาไฟฟ้าเคมี และกระแสไฟฟ้าที่ออกจากเซลล์เชื่อมเพลิง เนื่องจากอัตราเร็วของปฏิกิริยาไฟฟ้าเคมีขึ้นอยู่กับพลังงานกระตุ้น (Activation energy) โดยปฏิกิริยาจะเกิดขึ้นได้ต่อเมื่อมีเลกุลของสารที่เข้าทำปฏิกิริยามีพลังงานสูงกว่าพลังงานกระตุ้น ถ้ากำแพงพลังงานศักย์ (Potential energy barrier) มีค่าสูง เมื่อเทียบกับพลังงานของโมเลกุลของสารที่เข้าทำปฏิกิริยาแล้วอัตราเร็วของปฏิกิริยาเคมีก็จะมีค่าต่ำ ทำให้เกิดพลาไวเรชันทางเคมีมาก วิธีแก้ไขคือเพิ่มพลังงานโมเลกุลของสารตั้งต้นให้มากขึ้น เช่น เพิ่มอุณหภูมิให้สูงขึ้น แต่วิธีนี้ไม่สามารถใช้กับเซลล์เชื่อมเพลิงแบบเยื่อแผ่นแลกเปลี่ยนโปรดต่อน เพราะเยื่อแผ่นแลกเปลี่ยนโปรดต่อนไม่สามารถทนอุณหภูมิสูงได้ วิธีที่เหมาะสมคือ ลดกำแพงพลังงานศักย์ลงโดยการใช้ตัวเร่งปฏิกิริยา เช่น แพลตินัม สำหรับเซลล์เชื่อมเพลิงแบบเยื่อแผ่นแลกเปลี่ยนโปรดต่อนที่มีแก๊สไอกอโรเจนเป็นเชื่อมเพลิงและแก๊สออกซิเจนเป็นตัวออกซิไดซ์

### 2.3.2 โพลาไรเซชันเนื่องจากความต้านทาน (Resistance polarization)

ในเซลล์เชือเพลิงแบบที่ใช้สารละลายกรดหรือเบสเป็นอิเล็กโทรไลต์ จะทำให้ความต้านทานภายในเซลล์มีค่าต่ำ เพราะอิเล็กโทรไลต์ดังกล่าวนำໄไอออนได้ดี แต่ในกรณีที่ใช้เยื่อแผ่นแลกเปลี่ยนprototonเป็นอิเล็กโทรไลต์ จะทำให้เกิดโพลาไรเซชันเนื่องจากความต้านทานมาก เพราะเยื่อแผ่นแลกเปลี่ยนprototonนำໄไอออนได้น้อยกว่าสารละลายกรดหรือเบส

### 2.3.3 โพลาไรเซชันเนื่องจากความเข้มข้น (Concentration polarization)

โพลาไรเซชันเนื่องจากความเข้มข้น เกิดจากเชือเพลิงหรือตัวออกซิไดซ์กูไนมากเกินไป และผลของปฏิกิริยาซึ่งเกิดที่ขั้วไฟฟ้าสามารถทำให้ความเข้มข้นหรืออิอนยนนึงคือความดันของสารตั้งต้นลดลง เป็นผลให้ศักย์ไฟฟ้าลดลงตามสมการของเนินส์ต์ ปัญหานี้มักจะเกิดกับเซลล์เชือเพลิงที่ใช้ออกซิเจนจากอากาศเป็นตัวออกซิไดซ์ ส่วนในกรณีใช้ออกซิเจนบริสุทธิ์มักจะไม่มีปัญหานี้เกิดขึ้น ดังนั้นเมื่อใช้กับอากาศจึงต้องมีระบบการถ่ายเทอากาศที่ดีพอสมควร ส่วนอัตราการไหล เกี่ยนจะมากหรือน้อยขึ้นอยู่กับปริมาณกระแสที่ออกจากเซลล์เชือเพลิง [8]

## 2.4 ประสิทธิภาพของเซลล์เชือเพลิง [2]

ประสิทธิภาพของเซลล์เชือเพลิงนับว่าเป็นส่วนหนึ่งที่น่าสนใจมาก เพราะเซลล์เชือเพลิงมีประสิทธิภาพสูงกว่าการผลิตไฟฟ้าแบบอื่นๆ โดยเซลล์เชือเพลิงจะเปลี่ยนพลังงานเคมีเป็นพลังงานไฟฟ้าโดยตรง จึงทำให้มีการสูญเสียพลังงานน้อยกว่าการผลิตไฟฟ้าแบบอื่นๆ ที่มีการเปลี่ยนแปลงพลังงานเคมีเป็นพลังงานรูปอื่นก่อนแล้วจึงเปลี่ยนมาเป็นพลังงานไฟฟ้า

ประสิทธิภาพสูงสุดของเซลล์เชือเพลิงนั้นเราสามารถคำนวณโดยทางทฤษฎีได้ แต่ในทางปฏิบัติแล้วประสิทธิภาพของเซลล์เชือเพลิงจะลดได้ต่ำกว่าในทางทฤษฎี ทั้งนี้ขึ้นอยู่กับลักษณะการใช้งานของเซลล์เชือเพลิงเป็นหลัก การที่ประสิทธิภาพของเซลล์เชือเพลิงลดลงนั้นเกิดจากความต้านทานภายในเซลล์ ดังนั้นถ้าต้องการให้เซลล์เชือเพลิงมีประสิทธิภาพสูงก็จะต้องลดความต้านทานภายในเซลล์ลง ประสิทธิภาพของเซลล์เชือเพลิงสามารถแบ่งได้ดังนี้

#### 2.4.1 ประสิทธิภาพแบบฟาราเดย์ (Faradaic efficiency, $\eta_F$ )

ในทางปฏิบัติแล้วปฏิกิริยาไฟฟ้าเคมีที่ข้าไฟฟ้าอาจจะเกิดได้หลายปฏิกิริยาทำให้ปริมาณสารที่เข้าทำปฏิกิริยาไม่สัมพันธ์กับประจุที่ได้รับตามกฎของฟาราเดย์ และการที่แก๊สซึมผ่านเยื่อแผ่นแลกเปลี่ยนโปรดอนไปทำปฏิกิริยากันโดยตรง จะทำให้ประสิทธิภาพแบบฟาราเดย์ลดลงได้ การวัดประสิทธิภาพแบบฟาราเดย์ ทำได้โดยการวัดประจุที่ได้รับต่อโมลของเชื้อเพลิง เปรียบเทียบกับประจุที่ควรจะได้รับในทางทฤษฎีต่อโมลของเชื้อเพลิง [8] ดังสมการที่ 2.5 2.6 และ 2.7

$$\eta_F = \frac{\text{ประจุที่ได้รับต่อโมลของเชื้อเพลิง}}{\text{ประจุที่ควรจะได้รับในทางทฤษฎีต่อโมลของเชื้อเพลิง}} \quad \text{-----2.5}$$

$$\eta_F = \frac{\text{กระแสไฟฟ้าที่รับได้}}{\text{กระแสไฟฟ้าที่คำนวณได้จากอัตราการใช้เชื้อเพลิง}} \quad \text{-----2.6}$$

$$\eta_F = \frac{i}{NF \frac{dn}{dt}} \quad \text{-----2.7}$$

เมื่อ  $i$  เป็นกระแสที่ออกจากเซลล์เชื้อเพลิงและ  $N$  เป็นจำนวนโมลของอิเล็กตรอนที่เกี่ยวข้องในปฏิกิริยาไฟฟ้าเคมี ส่วน  $F$  เป็นค่าनิจของฟาราเดย์ โดยที่  $dn/dt$  เป็นอัตราการใช้เชื้อเพลิงของเซลล์เชื้อเพลิงมีหน่วยเป็น โมล/วินาที ประสิทธิภาพแบบฟาราเดย์นี้แสดงถึงเมื่อมีการใช้แก๊สไปด้วยอัตราเท่าใด ควรได้กระแสไฟฟ้าเท่าใด และในทางปฏิบัติจริงจะได้กระแสเท่าใด ดังนั้นบางครั้งจึงเรียกประสิทธิภาพแบบนี้ว่าประสิทธิภาพของกระแส (Current efficiency) โดยปกติแล้วเซลล์เชื้อเพลิงแบบเยื่อแผ่นแลกเปลี่ยนโปรดอนมีประสิทธิภาพแบบฟาราเดย์ค่อนข้างสูงกว่าประสิทธิภาพแบบอื่น โดยเฉพาะเมื่อใช้แก๊สไฮโดรเจนเป็นเชื้อเพลิงและออกซิเจนเป็นตัวออกซิไดซ์ เพราะปฏิกิริยานี้มีปฏิกิริยาข้างเคียงน้อยกว่าปฏิกิริยาอื่น ดังนั้นในกรณีที่ต้องการดูค่าคร่าวๆ อาจถือได้ว่า  $\eta_F = 1$  แต่ในการทดลองแล้ว  $\eta_F$  มีค่าน้อยกว่า 1 เช่นกัน

#### 2.4.2 ประสิทธิภาพของศักย์ไฟฟ้า (Voltage efficiency, $\eta_V$ )

ประสิทธิภาพของศักย์ไฟฟ้าแสดงถึงการลดลงของพลังงานศักย์เมื่อเทียบกับพลังงานศักย์ทางทฤษฎี เช่น ในทางทฤษฎีสำหรับปฏิกิริยาไฟฟ้าเคมีอันหนึ่งสามารถคำนวณได้ศักย์ไฟฟ้าเป็น

E โวลต์ หมายความว่า เชื้อเพลิง 1 เม็ด มีพลังงานศักย์เป็น NFE โวลต์ แต่ในทางปฏิบัติ ขณะที่ เชล์ เชื้อเพลิงจ่ายกระแสไฟฟ้าออกจากเชล์ทำให้ศักย์ไฟฟ้าลดลงเหลือ V โวลต์ ทำให้มีการสูญเสียพลังงานศักย์ไป NF(E - V) จูลน์ [9] ดังนั้นประสิทธิภาพของศักย์ไฟฟ้าเขียนได้ดังสมการที่ 2.8

$$\eta_v = \frac{V}{E} \quad \text{-----2.8}$$

#### 2.4.3 ประสิทธิภาพเชิงความร้อน (Thermal efficiency, $\eta_T$ )

ปกติแล้วพลังงานที่ได้รับจากปฏิกิริยาเคมีมักจะเป็นพลังงานความร้อน ( $\Delta H$ ) เมื่อนำปฏิกิริยาดังกล่าวมาใช้ในเชล์ เชื้อเพลิงจะได้พลังงานไฟฟ้า ( $\Delta G$ ) แต่ยังคงมีบางส่วนที่เป็นพลังงานความร้อน ( $T\Delta S$ ) ดังสมการที่ 2.9

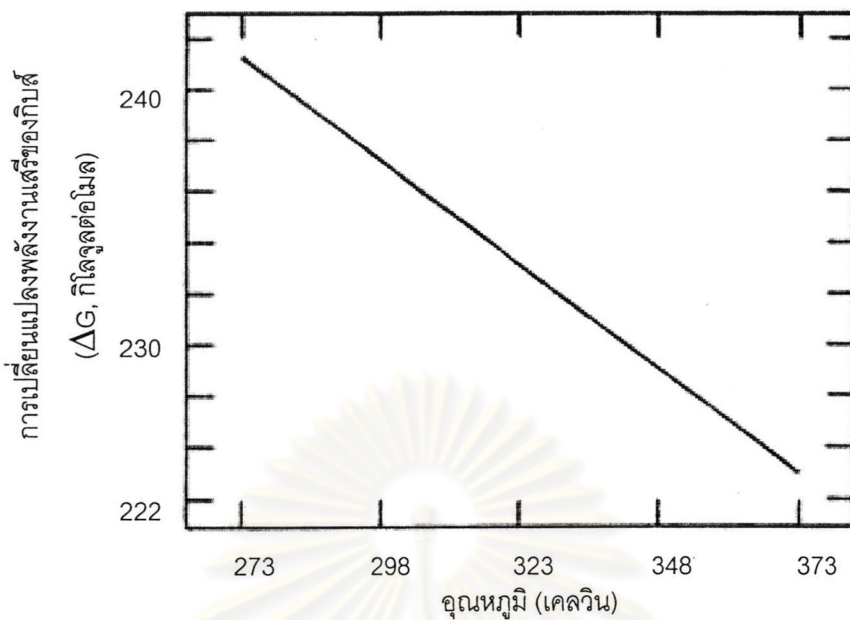
$$\Delta H = \Delta G + T\Delta S \quad \text{-----2.9}$$

#### ดังนั้นประสิทธิภาพเชิงความร้อน ( $\eta_T$ ) หาได้จากสมการที่ 2.10

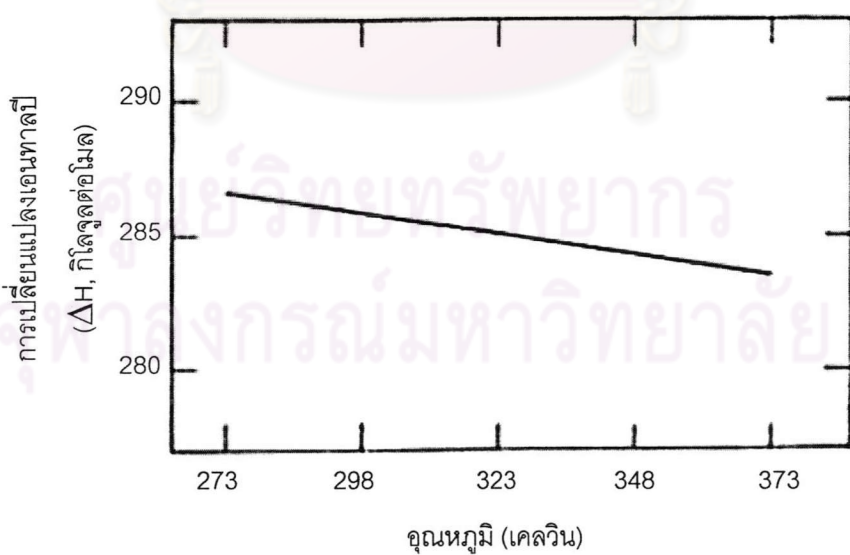
$$\eta_T = \frac{\Delta G}{\Delta H} \quad \text{-----2.10}$$

ประสิทธิภาพเชิงความร้อน แสดงถึงความสามารถในการเปลี่ยนพลังงานความร้อนให้เป็น พลังงานไฟฟ้าสูงสุด ประสิทธิภาพเชิงความร้อนขึ้นอยู่กับชนิดของปฏิกิริยาเท่านั้น ไม่ขึ้นกับ ลักษณะอื่นของเชล์ [10]

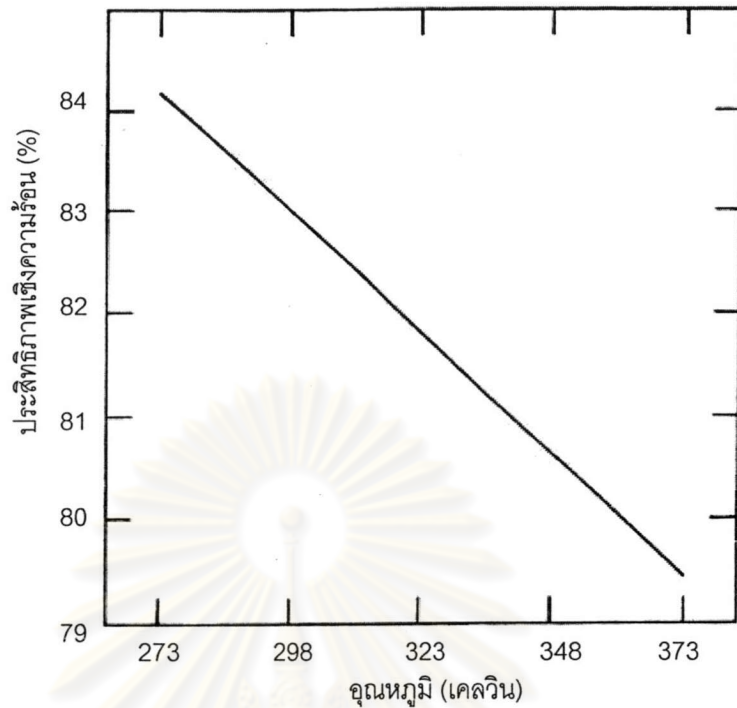
เนื่องจาก  $\Delta G$  และ  $\Delta H$  แปรค่าตามอุณหภูมิดังรูปที่ 2.1 และรูปที่ 2.2 มีผลให้  $\eta_T$  แปร ตามอุณหภูมิด้วย ในเชล์ เชื้อเพลิงที่ใช้แก๊สไฮโดรเจนเป็นเชื้อเพลิงและแก๊สออกซิเจนเป็นตัวออกซิไดซ์ ค่า  $\eta_T$  จะลดลงเมื่ออุณหภูมิเพิ่มขึ้น ดังรูปที่ 2.3



รูปที่ 2.1 ผลของอุณหภูมิที่มีต่อการเปลี่ยนแปลงพลังงานเสรีของกิบส์ [2]



รูปที่ 2.2 ผลของอุณหภูมิที่มีต่อการเปลี่ยนแปลงเอนทัลปี [2]



รูปที่ 2.3 ผลของอุณหภูมิที่มีต่อประสิทธิภาพเบิงความร้อนของปฏิกิริยา  $H_2 + 1/2O_2 \rightarrow H_2O$  [2]

#### 2.4.4 ประสิทธิภาพรวม (Overall efficiency, $\eta_o$ )

ประสิทธิภาพรวมเป็นการคิดประสิทธิภาพทั้งหมดเข้าด้วยกัน ซึ่งเขียนได้ดังสมการที่ 2.11

$$\eta_o = \eta_f \cdot \eta_v \cdot \eta_T \quad \text{-----2.11}$$

จากสมการ 2.7 และ 2.8 จะเห็นได้ว่าผลคูณของ  $\eta_f$  และ  $\eta_v$  หมายถึงประสิทธิภาพในการเปลี่ยนแปลงพลังงานเสรีของกิบส์ ( $\Delta G$ ) ไปเป็นพลังงานไฟฟ้า ส่วน  $\eta_T$  ซึ่งหมายถึงประสิทธิภาพในการเปลี่ยนแปลงเอนทัลปี ( $\Delta H$ ) ให้เป็นพลังงานเสรีของกิบส์ก่อนที่จะเปลี่ยนต่อไปเป็นพลังงานไฟฟ้า ดังนั้นประสิทธิภาพรวม ( $\eta_o$ ) ซึ่งเป็นผลคูณทั้งหมดดังสมการ 2.11 หมายถึงประสิทธิภาพของเซลล์เชื้อเพลิงในการเปลี่ยนเอนทัลปีไปเป็นพลังงานไฟฟ้าว่ามีมากน้อยเพียงใด ดังนั้นประสิทธิภาพรวมของเซลล์เชื้อเพลิง จึงสามารถใช้เปรียบเทียบกับประสิทธิภาพรวมของเครื่องกำเนิดไฟฟ้าแบบเครื่องยนต์ความร้อน (Heat engine) ได้โดยตรง [10] ซึ่งคำนวนได้จากพลังงานไฟฟ้าที่ได้จากระบบแล้วเปรียบเทียบกับพลังงานความร้อนที่ให้แก่ระบบ

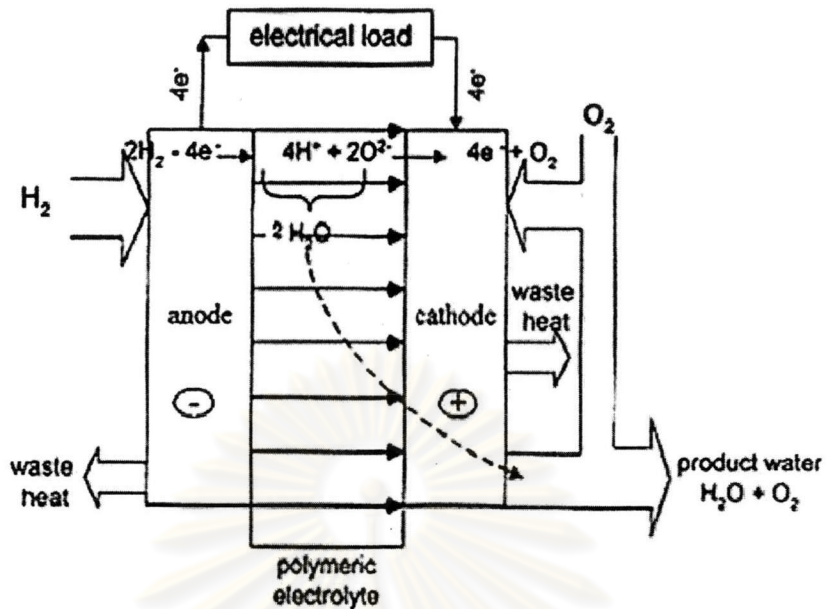
## 2.5 เชลล์เชือเพลิงแบบพอลิเมอร์ของแข็ง (Solid polymer fuel cells) [3]

เชลล์เชือเพลิงแบบพอลิเมอร์ของแข็ง (SPFC) มีชื่อเรียกหลายชื่อ บริษัท General Electric (GE) เป็นบริษัทแรกที่พัฒนาและเรียกเชลล์เชือเพลิงประเภทนี้ว่า เชลล์เชือเพลิงแบบเยื่อแผ่นแลกเปลี่ยนไอโอน (Ion exchange membrane fuel cells, IEMFC) ต่อมาภายหลังมีหลายบริษัทที่ทำการผลิตเชลล์เชือเพลิงแบบนี้และเรียกชื่อใหม่ว่า เชลล์เชือเพลิงแบบเยื่อแผ่นแลกเปลี่ยนprotoon (PEMFC) [11]

เชลล์เชือเพลิงแบบพอลิเมอร์ของแข็ง เป็นเชลล์เชือเพลิงที่เหมาะสมกับการใช้งานซึ่งต้องมีการเคลื่อนย้าย เช่น การใช้กับรถยนต์ เพราะเชลล์เชือเพลิงดังกล่าวมีค่าความหนาแน่นของกำลังงาน (Power density) สูง [12] ถึงแม้ว่าสภาวะอุณหภูมิการทำงานจะมีอยู่ในช่วง 60-100 องศาเซลเซียส เชลล์เชือเพลิงดังกล่าวนี้ถูกผลิตขึ้นเป็นครั้งแรกเพื่อใช้กับองค์กรอวกาศของสหรัฐฯ หรือองค์กรนาซา (NASA) โดยบริษัท GE ในช่วงทศวรรษที่ 1960 เหตุผลที่เชลล์เชือเพลิงชนิดนี้ถูกเลือกใช้ในโครงการอวกาศ ก็เพราะเชลล์เชือเพลิงแบบพอลิเมอร์ของแข็งนี้มีค่าความหนาแน่นพลังงานสูง (Energy density) เมื่อเปรียบเทียบกับแบตเตอรี่ อิเล็กโทรไลต์ที่ใช้ไม่กัดกร่อนและหอเชลล์เชือเพลิงนี้สามารถประกอบได้ง่าย เพราะมีโครงสร้างไม่ซับซ้อน [13]

### 2.5.1 หลักการทำงานของเชลล์เชือเพลิงแบบพอลิเมอร์ของแข็ง

เชลล์เชือเพลิงแบบพอลิเมอร์ของแข็งประกอบด้วยเยื่อแผ่นพอลิเมอร์ของแข็งซึ่งทำหน้าที่เป็นอิเล็กโทรไลต์ ในที่นี้เยื่อแผ่นจะทำหน้าที่เป็นตัวกลางแลกเปลี่ยนprotoon เยื่อแผ่นดังกล่าว จะถูกประกอบด้วยขั้วอิเล็กโทรด 2 ขั้วที่มีความพื้นและมีตัวเร่งปฏิกิริยาที่เป็นแพลตินัมเกาะอยู่ [14] รูปที่ 2.4 แสดงหลักการทำงานของเชลล์เชือเพลิงแบบพอลิเมอร์ของแข็ง น้ำที่เกิดจากกระบวนการไฟฟ้าเคมีจะถูกดึงออกจากเชลล์มากับแก๊สทางฝั่งแคตode ส่วนความร้อนที่เกิดขึ้นจะถูกดึงออกโดยระบบหล่อเย็น



รูปที่ 2.4 หลักการทำงานของเซลล์เชื้อเพลิงแบบพอลิเมอร์ของแข็ง [3]

เซลล์เชื้อเพลิงแบบพอลิเมอร์ของแข็งนี้ต้องใช้แก๊สไออกซิเจนและแก๊สออกซิเจนที่มีความชื้น (Humidified gases) ปฏิกิริยาไฟฟ้าเคมีที่เกิดขึ้นบนขั้วอิเล็กโทรดมีดังนี้

ปฏิกิริยาที่ขั้วแอดโนด : ไออกซิเจนจะถูกออกซิไดซ์แล้วเกิดเป็น H<sup>+</sup> (ไออกซิเจนไอโอกอน) และอิเล็กตรอน ดังสมการที่ 2.12



ปฏิกิริยาที่ขั้วแคโทด : H<sup>+</sup> ที่เกิดจากปฏิกิริยาที่ขั้วแอดโนดจะทำการแพร่ผ่านเยื่อแผ่นมาที่ขั้วแคโทดและเกิดปฏิกิริยาจัดตัว ดังสมการที่ 2.13



ปฏิกิริยาสุทธิของเซลล์เชื้อเพลิงแบบพอลิเมอร์ของแข็งแสดงดังสมการที่ 2.14



### 2.5.2 อิเล็กโทรไลต์ของเซลล์เชือเพลิงแบบพอลิเมอร์ของแข็ง

อิเล็กโทรไลต์ของเซลล์เชือเพลิงแบบพอลิเมอร์ของแข็งจะไม่ใช้อิเล็กโทรไลต์ที่เป็นของเหลว แต่เป็นเยื่อแผ่นที่เหมือนพลาสติกที่มีสมบัติในการแลกเปลี่ยนไอออน ซึ่งมีความหนาอยู่ในช่วง 50-175 ไมโครเมตร [13] เยื่อแผ่นดังกล่าวมักประกอบด้วยกรดเปอร์ฟลูอโบรัลฟโนิก (Perfluorosulfonic acid) ซึ่งเป็นพอลิเมอร์แบบฟลูอิโครบอน (Fluorocarbon) ที่เหมือนเทฟлон โดยมีด้านปลายของสายโซ่ (Chain) ไม่เลกูลเป็นกลุ่มชัลฟโนิก (Sulfonic acid) เยื่อแผ่นดังกล่าวนี้มักถูกเรียกว่าเยื่อแผ่นแลกเปลี่ยนโปรตอน (Proton exchange membrane, PEM) หรือเยื่อแผ่นแลกเปลี่ยนไอออน (Ion exchange membrane, IEM) โดยมีสมบัติเป็นฉนวนไฟฟ้าแต่สามารถนำไอออนของไฮโดรเจนได้ดี

เยื่อแผ่นที่เคยนำมาใช้กับเซลล์เชือเพลิงแบบพอลิเมอร์ของแข็งมีอยู่มากมาย รวมทั้งพอลิเมอร์ที่ทำมาจากสารประกอบไฮดรคาร์บอน เช่น Cross-linked polystyrene-divinylbenzene sulfonic acids และ Sulfonated phenolformaldehyde เป็นต้น โดยทั่วไปเยื่อแผ่นดังกล่าวข้างต้นจะมีฤทธิ์เป็นกรด เนื่องจากมีกลุ่มกรดชัลฟโนิกที่อยู่ในเนื้อเมทริกซ์ สำหรับเยื่อแผ่นพอลิเมอร์ของแข็งที่มีฤทธิ์เป็นกรดจะมีลักษณะเป็นเจล (Gel) ซึ่งต้องมีไม่เลกูลของน้ำและโปรตอนอยู่ดึงจะเกิดการนำไอออนได้ [15] อัตราส่วนระหว่างไมเลกูลของน้ำต่อโปรตอน เพื่อให้เกิดการนำไอออนได้ที่สุดคือประมาณ 3 ต่อ 1 ตั้งน้ำมีค่าการนำไอออนของพอลิเมอร์ดังกล่าวจะจึงขึ้นอยู่กับค่าความดันของน้ำที่ต่ำแห่งน้ำ (หรืออีกนัยหนึ่งคือขึ้นอยู่กับอุณหภูมินั้นเอง) โดยภาพรวมสามารถพิจารณาว่าเยื่อแผ่นพอลิเมอร์ของแข็งส่วนใหญ่เป็นอิเล็กโทรไลต์กรด (Acid electrolyte) ที่ใช้ไอออนลบ (Anion) จะถูกยึดไว้โดยโครงสร้างพอลิเมอร์

สำหรับเยื่อแผ่นแลกเปลี่ยนไอออนที่เป็นกรดซึ่งถูกใช้เป็นสารอิเล็กโทรไลต์จะต้องมีสมบัติดังต่อไปนี้

- 1) มีค่าการนำไอออนสูง
- 2) มีค่าการแพร่ของแก๊สต่ำ
- 3) มีขนาดที่แน่นอน
- 4) มีค่าความแข็งแรงเชิงกลสูง
- 5) มีค่าการแพร่ของน้ำต่ำ
- 6) มีความต้านทานต่อการสูญเสียน้ำ (Dehydration)
- 7) มีความต้านทานต่อการเกิดออกซิเดชัน ริดกซันและไฮดรอไลซิส (Hydrolysis)
- 8) มีค่าการถ่ายเทไอออนบวก (Cation) สูง
- 9) พื้นผิวของเยื่อแผ่นต้องสามารถเข้ามดัวเร่งปฏิกิริยาให้เกะบันพื้นผิวได้ดี

### 10) มีความเป็นเนื้อเดียวกัน (Homogeneity)

แต่เนื่องจากไม่มีเยื่อแผ่นใดที่จะมีสมบัติเบื้องต้นครบถ้วน ดังนั้นจึงต้องพยายามเลือกให้มีความเหมาะสมมากที่สุด

#### 2.5.3 การพัฒนาเยื่อแผ่นแลกเปลี่ยนไอออน

งานพัฒนาเยื่อแผ่นแลกเปลี่ยนไอออน ได้เริ่มโดยบริษัท General Electric [15] ซึ่งผลิตโดยการควบแน่นกรดฟีโนอลซัลฟonic acid (Phenolsulfonic acid) และฟอร์มาลดีไฮด์ (Formaldehyde) เยื่อแผ่นนี้จะมีความประาะและแตกได้ง่ายเมื่อยื่นแห้งและถูกไฮดรอลิกได้อย่างรวดเร็วถ้ายเป็นกรดซัลฟูริก เยื่อแผ่นแบบพอลิเมอร์ของแข็งชุดถัดมาผลิตได้จากการทำซัลฟูเรชันบางส่วน (Partial sulfonation) ของพอลิสไตรีน (Polystyrene) แต่สมบัติของเยื่อแผ่นนี้ยังไม่เป็นที่น่าพอใจ เพราะมีอายุการใช้งานสั้น คือประมาณ 200 ชั่วโมงที่อุณหภูมิ 60 องศาเซลเซียส เยื่อแผ่นชุดต่อมาที่ได้รับการพัฒนาคือเยื่อแผ่นชุด D เยื่อแผ่นนี้ผลิตได้จากการใช้สไตรีนไดวีนิลベンชีน (Styrene divinylbenzene) ที่เกาะอยู่บนเมทธิกซ์ที่ทำมาจากฟลูอโโรคาร์บอน (Fluorocarbon matrix) ที่เชื่อมแล้วตามด้วยการทำซัลฟูเรชัน เยื่อแผ่นชุด D นี้จัดเป็นเยื่อแผ่นชุดแรกที่มีความแข็งแรงอยู่ในช่วงที่ยอมรับได้ทั้งในสภาพเปียกและแห้ง ซึ่งเยื่อแผ่นนี้ได้ถูกนำไปใช้กับเซลล์เชือเพลิงที่ใช้ในยานอวกาศ Gemini 7 ในปี ค.ศ. 1964 แต่อย่างไรก็ตามเยื่อแผ่นนี้สามารถใช้งานได้นานแค่ 500 ชั่วโมงที่อุณหภูมิ 60 องศาเซลเซียส เพราะเกิดการเสื่อมสภาพของพันธะ C-H ตรงตำแหน่งอัลฟ่า (Alpha) ในโครงสร้างของเยื่อแผ่นพอลิเมอร์ ภายหลังจากการปรับปรุงเยื่อแผ่นให้มีโครงร่างตัวข่าย (Cross-linking) พบว่าเยื่อแผ่นที่ผลิตได้นี้มีอายุการใช้งานนานขึ้นเป็น 1000 ชั่วโมง

เยื่อแผ่นชุดถัดมาคือ เยื่อแผ่นชุด S ซึ่งผลิตได้จากไฮโมพอลิเมอร์ (Homopolymer) ของกรด alpha- $\beta$ ,  $\beta$  trifluorostyrene sulfonic acid เยื่อแผ่นชนิดนี้มีความเสถียรทางเคมีและทางความร้อนแต่ยังมีจุดอ่อนในด้านสมบัติทางกายภาพ ต่อมายื่อแผ่นชนิดนี้ได้ถูกปรับปรุงโดยการผสมพอลิเมอร์ที่ผลิตจากการดีโพล์ฟลูอโโรซัลฟอนิกเข้ากับพอลิไวนิลลิดีนฟลูออไรด์ (Polyvinylidene fluoride) โดยการใช้ตัวพลาสติไซเซอร์ (Plasticizer) ที่เป็นไตรเอทิลฟอสเฟต (Triethyl phosphate) เยื่อแผ่นนี้สามารถใช้ได้นาน 2000 ชั่วโมงที่ 80 องศาเซลเซียส

ประมาณปี ค.ศ. 1968 บริษัท DuPont ได้พัฒนาเยื่อแผ่นแลกเปลี่ยนไอออนที่ทำมาจาก Nafion® [15] ซึ่งประกอบด้วยพอลิเมอร์ของกรดเปอร์ฟลูอโโรซัลฟอนิก ซึ่งบางครั้งมีการเติมตัวเสริมกำลัง (Reinforce) เทฟลอนลงไป พอลิเมอร์นี้ผลิตจากการทำปฏิกิริยาของเตตระฟลูอโโรเอทธิลีน (Tetrafluoroethylene) กับ  $\text{SO}_3$  เพื่อให้ได้ไซคลิกซัลโทน (Cyclic sultone) จากนั้นนำไปทำ

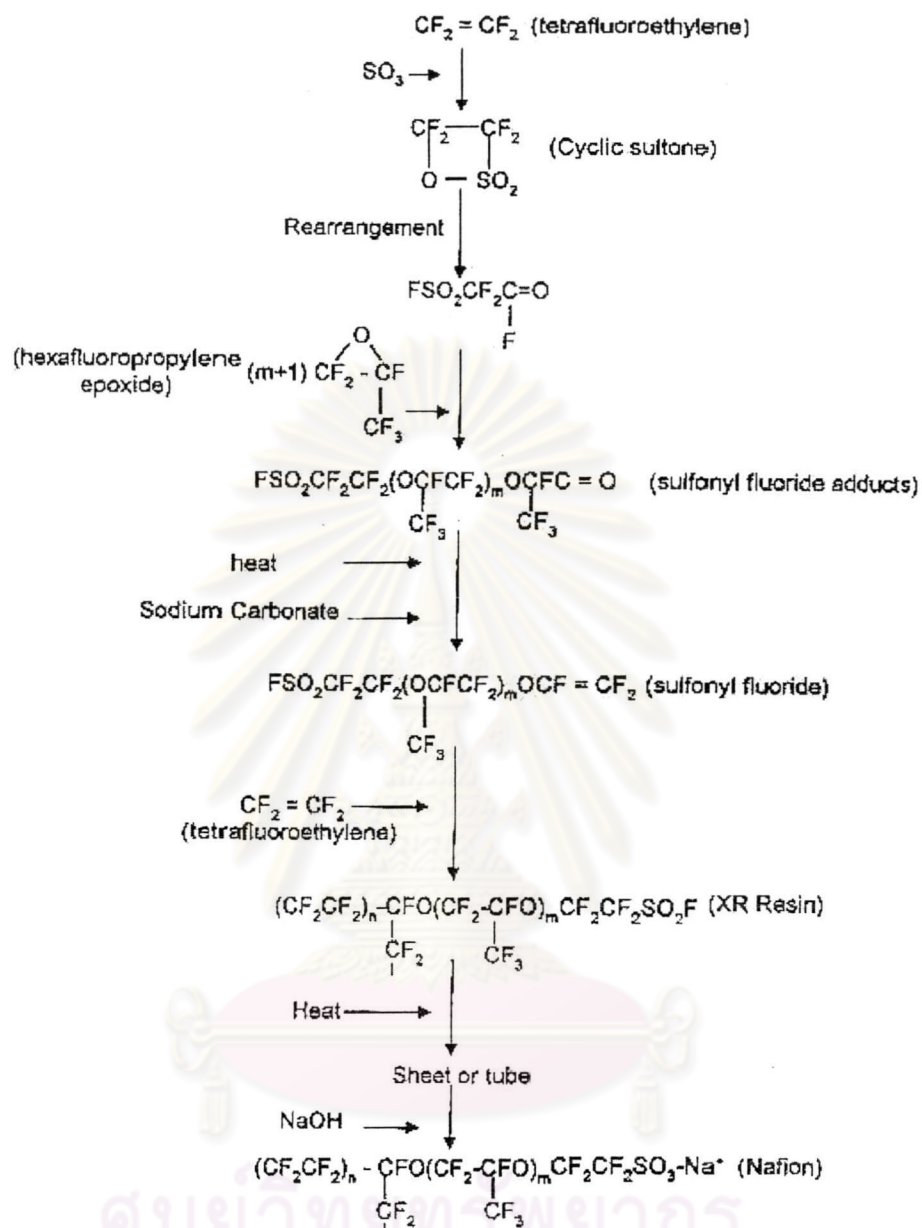
ปฏิกิริยา กับ เออกซ์ฟลูออโรโพริลีน-อีพ็อกไซด์ (Hexafluoropropylene epoxide) จำนวน  $m+1$  มोเลกุล โดยที่  $m > 1$  ผลิตภัณฑ์ที่เกิดจากปฏิกิริยาข้างต้นถูกนำไปให้ความร้อนร่วมกับโซเดียมคาร์บอเนต จะเกิดเป็นชัลโคนิลฟลูออโรเอธีลีน เพื่อให้ได้เรซิน XR ซึ่งสามารถถูกหลอมให้เป็นแผ่นหรือห่อ ขันตอนสุดท้ายคือการนำแผ่นพอลิเมอร์นี้ไปทำไฮดรอลิซิตัวยด่าง (Base hydrolysis) จะได้ผลิตภัณฑ์เป็น Nafion<sup>®</sup> เยื่อแผ่นที่ทำมาจาก Nafion<sup>®</sup> อาจถูกพิจารณาว่าเป็นกลุ่มชัลโคนิล (Sulfonate) ของเทฟลอนได้ถึงแม้ว่าจะมีพันธะของอีเทอร์ (Ether) อยู่ รูปที่ 2.5 แสดงขั้นตอนการผลิต Nafion<sup>®</sup> ตามกรรรมวิธีข้างต้น

โดยทั่วไปเยื่อแผ่น Nafion<sup>®</sup> จะทนต่อกรดเข้มข้นและตัวออกซิเดนท์และเยื่อแผ่นนี้จะสามารถนำไอออนไฮดรอนิเมียม (Hydronium ions) ได้เมื่อมีน้ำอยู่ในเยื่อแผ่นประมาณ 20% โดยน้ำหนัก เยื่อแผ่นดังกล่าวสามารถสร้างเป็นแผ่นที่มีความกว้าง 120 เซนติเมตร โดยไม่จำกัดความยาว และมีความหนาเท่ากับ 7 mils (หรือ 175 ไมครอน) ได้ ผลิตภัณฑ์ที่ขายในห้องตลาดจะมีชื่อเรียกตามหมายเลข เช่น Nafion<sup>®</sup> 1170 เมื่อเลข 2 หลักแรกคือค่าน้ำหนักเทียบเท่า (Equivalent weight) หารด้วย 100 และตัวเลขสองตัวหลังคือความหนาเป็น mils ที่คูณด้วย 10 (หมายเหตุ : น้ำหนักเทียบเท่า คืออัตราส่วนของน้ำหนักของพอลิเมอร์ต่อจำนวนโมลของกลุ่มกรดชัลโคนิก)

[14]

การเพิ่มความแข็งแรงทางกลของพอลิเมอร์สามารถทำได้ 2 วิธีคือ โดยการผึ้งตะแกรงที่ทำมาจากพอลิเตตระฟลูออโรเอธีลีน (Polytetrafluoroethylene, PTFE) ลงในแผ่นเยื่อแผ่นหรือการใช้ตัวรองรับมาหนุนด้านหลังของเยื่อแผ่น เยื่อแผ่นที่มีแผ่นรองรับ (Supported Nafion<sup>®</sup> membrane) จะสามารถทนความแตกต่างของความดันได้มากกว่า 70 บรรยากาศ และสามารถทำงานที่ความดันสูงถึง 200 บรรยากาศ เยื่อแผ่น Nafion<sup>®</sup> ทั้งภาวะแห้งและเปียกจะมีความเสถียรต่อการเกิดออกซิเดชันภายในได้ช่วงอุณหภูมิ 25-150 องศาเซลเซียส สมบัติการนำไอออนของเยื่อแผ่นที่มีน้ำหนักเทียบเท่า 1100 จนถึง 1500 จะมีค่าสูง

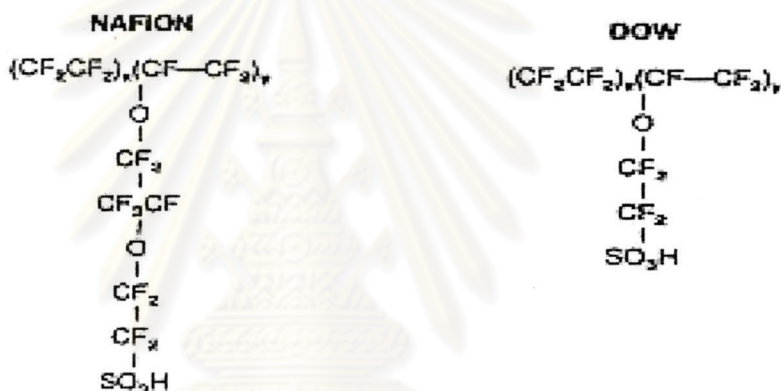
จุฬาลงกรณ์มหาวิทยาลัย



รูปที่ 2.5 การเตรียม Nafion<sup>®</sup> หรือ Perfluorosulfonic acid polymer ของบริษัท DuPont [3]

### 2.5.4 เยื่อแผ่นที่พัฒนาโดยบริษัท Dow Chemical

บริษัท Dow Chemical ได้พัฒนาเยื่อแผ่นชนิดใหม่แต่ยังคงจัดอยู่ในกลุ่มพอลิเมอร์ของ เปอร์ฟลูอโรีเนต ไอโอนิเมอร์ (Perfluorinated ionomers) วัตถุประสังค์หลักของการพัฒนาเยื่อแผ่นแบบใหม่คือการผลิตเยื่อแผ่นแลกเปลี่ยนไอออนสำหรับอุตสาหกรรมคลอโร-อัลคาไล (Chloro-alkali industry) ผลการทดสอบพบว่าเยื่อแผ่นชนิดใหม่นี้มีสมรรถนะสูงและทำให้ประสีทิวภาพของกระบวนการผลิตดังกล่าวสูงขึ้นกว่าเยื่อแผ่น Nafion<sup>®</sup> พอลิเมอร์ชนิดใหม่มีโครงสร้างไม่เกี่ยวหลักเหมือนพอลิเตตระฟลูอโรีลีนซึ่งคล้ายกับเยื่อแผ่น Nafion<sup>®</sup> แต่สายโซ่ไม่เกี่ยวตัวน้ำข้าง (Side chain) ซึ่งมีกลุ่มกรดชั้ลฟอนิกอยู่จะสั้นกว่า ดังแสดงในรูปที่ 2.6



รูปที่ 2.6 การเปรียบเทียบโครงสร้างไม่เกี่ยวของเยื่อแผ่น Nafion<sup>®</sup> ที่ผลิตโดยบริษัท DuPont กับเยื่อแผ่นฟลูอิโตรัลฟenediofoโนโนเมอร์ที่ผลิตโดยบริษัท Dow Chemical [3]

พอลิเมอร์ที่ผลิตโดยบริษัท Dow Chemical จะมีสมบัติในการแลกเปลี่ยนไอออนที่คล้ายคลึงกับ Nafion<sup>®</sup> แต่เยื่อแผ่นชนิดนี้ [16] จะมีค่าความรุนแรงของกรด (Acid strength) ที่สูงกว่าและมีค่าน้ำหนักเทียบเท่าต่ำกว่า (600-950) แม้ว่าเยื่อแผ่นของ Dow จะมีค่าน้ำหนักเทียบเท่าที่ต่ำกว่า แต่ค่าความแข็งแรงเชิงกลของเยื่อแผ่นกลับมีค่าสูงและไม่เกิดการแห้งอย่างรุนแรง ในขณะที่ถ้าเป็น Nafion<sup>®</sup> ที่มีค่าน้ำหนักเทียบเท่าที่เท่ากันแล้ว Nafion<sup>®</sup> จะเกิดเป็นพอลิเมอร์เจล (Gelled polymer) ซึ่งมีค่าความแข็งแรงเชิงกลต่ำ พอลิเมอร์ของ Dow จะดูด้านน้อยกว่า Nafion<sup>®</sup> ถึง 50 เท่า แต่จะสามารถนำไอออนได้ดีเท่ากับ Nafion<sup>®</sup> โดยมีค่าการแพร่ซึมผ่านได้ของแก๊ส (Permeability) ต่ำ พอลิเมอร์ที่ผลิตด้วยบริษัท Dow จะมีอุณหภูมิการเปลี่ยนสถานะคล้ายแก้ว (Glass transition temperature, T<sub>g</sub>) ที่สูงกว่า 165 องศาเซลเซียส เมื่อเทียบกับที่ 110 องศา

เซลเซียสของ Nafion<sup>®</sup> ดังนั้นเยื่อแผ่นที่ผลิตโดยบริษัท Dow จะสามารถทำงานได้ที่อุณหภูมิสูงกว่า ( $>100^{\circ}\text{C}$ ) [17]

การเตรียมพอลิเมอร์ของ Dow ทำได้โดยใช้กระบวนการการโคพอลิเมอร์ไรเรซัน (Copolymerization) ของเตตราฟลูออโรเอธีลีนกับไวนิล อีเทอร์มอนомер (Vinyl ether monomer) การทดสอบเยื่อแผ่นของ Dow โดยบริษัท Ballard ในปี ค.ศ. 1987 และ 1988 พบว่า ประสิทธิภาพการทำงานของเซลล์เชือเพลิงแบบพอลิเมอร์ของแข็งมีค่าสูงขึ้นมาก ค่าความหนาแน่นกำลังไฟฟ้า มีค่าสูงถึง 2.5 กิโลวัตต์/ตารางฟุต เมื่อใช้ แก๊สไฮโดรเจนและแก๊สออกซิเจนเป็นสารตั้งต้นและมีค่า 1.4 กิโลวัตต์/ตารางฟุต โดยใช้แก๊สไฮโดรเจนและอากาศเป็นสารตั้งต้น [11]

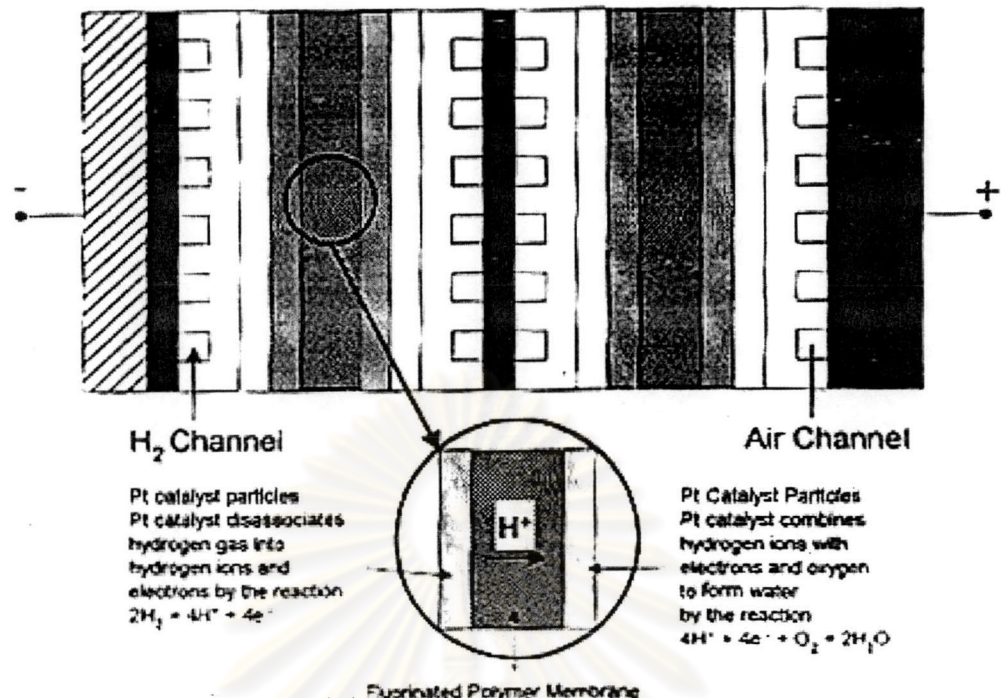
### 2.5.5 อิทธิพลของน้ำที่มีผลต่อค่าการนำไอออนของเยื่อแผ่น

เนื่องจากประสิทธิภาพของเยื่อแผ่นจะขึ้นอยู่กับความสามารถในการส่งถ่ายไอออนของไฮโดรเจนและเป็นที่ทราบกันมาบานแล้วว่ากระบวนการนำไอออนของเยื่อแผ่นจะเกิดขึ้นไม่ได้หากในเยื่อแผ่นไม่มีน้ำอยู่ ปริมาณของน้ำในเยื่อแผ่นเป็นตัวแปรสำคัญที่มีผลต่อค่าการนำไอออน การเพิ่มจำนวนโมลของน้ำต่อกรัมชัลโลเนตจากหนึ่งเป็นหกจะช่วยเพิ่มค่าการนำไอออนของเยื่อแผ่นได้ถึง  $10^{\circ}$  เท่า ในทางทฤษฎีการส่งถ่าย proton นั่นคือเลกุล จะต้องการน้ำ 3 มोเลกุล [15] ดังนั้นจึงต้องมีการให้เลวียนน้ำกากลับจากข้าวแคโทด ในขณะที่เซลล์เชือเพลิงแบบพอลิเมอร์ของแข็งทำงานอยู่

โดยปกติแก๊สที่ใช้ในเซลล์เชือเพลิงแบบพอลิเมอร์ของแข็งจะต้องมีอัตราด้วยน้ำ ทั้งนี้เพื่อลดการสูญเสียน้ำในเยื่อแผ่น เนื่องจากน้ำถูกผลิตขึ้นที่ข้าวแคโทด ซึ่งน้ำนี้มีความสำคัญต่อการส่งถ่าย proton ข้ามเยื่อแผ่นในรูปของไอออน  $\text{H}_3\text{O}^{+}$  ดังนั้นแก๊สที่ป้อนเข้าข้าวแอโนดควรผ่านกระบวนการไฮเดรชัน (Hydration) หรือทำให้มีอัตราด้วยน้ำก่อนเพื่อให้เซลล์เชือเพลิงแบบนี้สามารถทำงานได้แต่มีข้อเสียตรงที่แก๊สจะสามารถแพร่ผ่านเยื่อแผ่นได้ดีหากแก๊สันนี้มีความชื้นสูงซึ่งสิ่งนี้เป็นสิ่งที่ไม่ต้องการ ดังนั้นการควบคุมให้อัตราการแพร่ของแก๊สผ่านเยื่อแผ่นมีค่าต่ำจึงเป็นสิ่งที่จำเป็น

### 2.5.6 อิเล็กโทรดและตัวเร่งปฏิกิริยาสำหรับเซลล์เชือเพลิงแบบพอลิเมอร์ของแข็ง

หัวใจของเซลล์เชือเพลิงแบบพอลิเมอร์ของแข็ง คือชั้นเยื่อแผ่นพอลิเมอร์ที่ถูกประกอบทั้งสองด้านด้วยข้าวอิเล็กโทรด [18] แสดงดังรูปที่ 2.7 อิเล็กโทรดนี้จะถูกเร่งปฏิกิริยาด้วยแพลตินัมหรือโลหะผสมแพลตินัม (Platinum alloys) เพื่อให้ปฏิกิริยาไฟฟ้าเคมีทั้งที่ข้าวแอโนดและข้าวแคโทดสามารถดำเนินไปได้อย่างรวดเร็ว



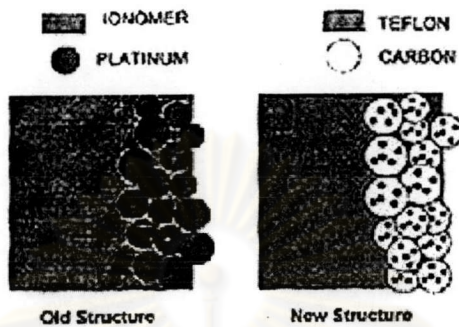
รูปที่ 2.7 ส่วนประกอบของเซลล์เชื้อเพลิงแบบพอลิเมอร์ของแข็ง [3]

#### 2.5.6.1 อิเล็กโทรด

ข้าวอิเล็กโทรดชนิดที่ยอมให้แก๊สผ่าน (Gas diffusion electrode) ซึ่งถูกใช้ในเซลล์เชื้อเพลิงรุ่นแรกๆ ประกอบด้วยแพลตินัมที่เกาะอยู่บนคาร์บอน (มีแพลตินัมประมาณ 0.4 มิลลิกรัมต่อตารางเซนติเมตร หรือวัดอยู่ละ 10-20 บันคาร์บอน) แต่เดิมข้าวอิเล็กโทรดจะมีตัวเสริมความแข็งแรงที่ทำมาจากผ้าหรือกระดาษcarbon (Carbon backing) และใช้สารละลายอิมัลชันของเทฟลอน (Teflon emulsion) เป็นตัวเชื่อมยึดอนุภาคแพลตินัมให้ติดอยู่บนกระดาษcarbon แต่ต่อมาภายหลังการผลิตข้าวอิเล็กโทรดทำโดยนำตัวเร่งปฏิกิริยาயืดติดอยู่บนเยื่อแผ่นแลกเปลี่ยนไอออนโดยตรง

ในการสร้างอิเล็กโทรดแบบใหม่ที่มีขั้นตอนเร่งปฏิกิริยาอยู่ติดบนเยื่อแผ่นแลกเปลี่ยนไอออนสามารถทำได้ 2 แบบคือการนำแพลตินัมมาอัดโดยใช้ความร้อน (Hot processing) ให้ติดลงไปโดยตรงบนเยื่อแผ่น โดยค่าอุณหภูมิที่ใช้ในการอัดมีค่าอยู่ระหว่างอุณหภูมิการเปลี่ยนสถานะคล้ายแก้วและอุณหภูมิที่เกิดการเสื่อมสภาพ (Degradation temperature) ของเยื่อแผ่นแสดงดังรูปที่ 2.8 ซ้ายมือ ข้าวอิเล็กโทรดแบบที่มีสมรรถนะการทำงานปานกลางต้องการแพลตินัมประมาณ

2 มิลลิกรัมต่อตารางเซนติเมตร ต่อมากายหลัง Los Alamos National Laboratory ได้พัฒนา เทคโนโลยีการทำอิเล็กโทรดแบบขั้นพิล์มบาง (มีความหนา 4-5 ไมโครเมตร) โดยการนำแพลตินัม มาเกาะบนตัวรองรับคาร์บอนก่อน จากนั้นค่อยนำไปเกาะบนเยื่อแผ่นแลกเปลี่ยนไอโอน ดังแสดง ดังรูปที่ 2.8 ข้ามมือ



รูปที่ 2.8 รูปแบบเริ่มแรกของขั้วอิเล็กโทรดแบบมีตัวเร่งปฏิกิริยาที่ใช้สำหรับเซลล์เชื้อเพลิงแบบพอลิเมอร์ของแข็งกับรูปแบบใหม่ของขั้วอิเล็กโทรด ซึ่งสามารถทำให้มีปริมาณความต้องการของแพลตินัมมีค่าลดลง 10 เท่า [3]

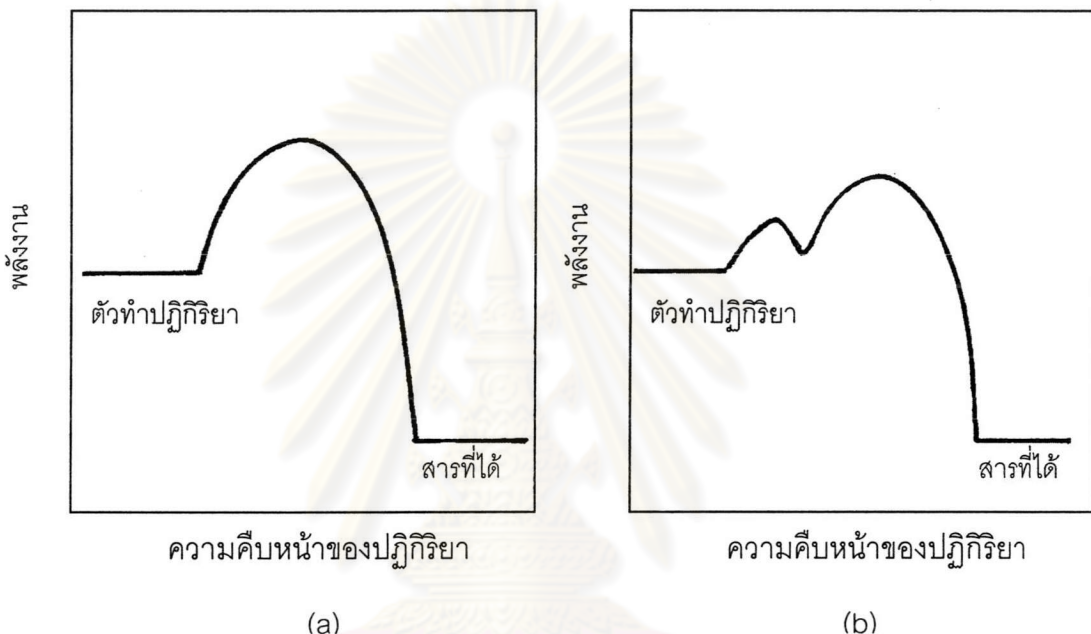
ขั้วอิเล็กโทรดแบบขั้นพิล์มบางให้สมรรถนะการทำงานที่ดีและให้ค่าความหนาแน่นกำลังไฟฟ้าประมาณ 1 วัตต์ต่อตารางเซนติเมตร โดยการใช้แก๊สไฮโดรเจนกับอากาศเป็นสารตั้งต้นและใช้แพลตินัมเพียง 0.12 มิลลิกรัมต่อตารางเซนติเมตร หากเบรียบเทียบกับขั้วอิเล็กโทรดแบบเก่าจะให้ค่าความหนาแน่นกำลังไฟฟ้าสูงสุดเพียงประมาณ 0.3 วัตต์ต่อตารางเซนติเมตร และมีปริมาณแพลตินัมที่ใช้มากกว่าถึง 10 เท่า [18]

ในประเทศญี่ปุ่นได้มีการศึกษาพัฒนาขั้วอิเล็กโทรดเพื่อใช้กับเซลล์เชื้อเพลิงแบบพอลิเมอร์ของแข็งด้วย เช่น สถาบันวิจัยแห่งชาติโอซาก้า (Osaka Nation Institute) [19] ได้ทำการศึกษาวิธีการเตรียมอิเล็กโทรดคาร์บอนที่มีการกระจายตัวของแพลตินัมสูง โดยมีวัตถุประสงค์เพื่อจะลดปริมาณการใช้แพลตินัมลงให้เหลือ 0.1-0.2 กรัมต่อกิโลวัตต์ หรือ 5-10 วัตต์ต่อมิลลิกรัม วิธีการเตรียมทำได้ 2 วิธี วิธีแรกคือวิธีการฝังโดยตรง (Direct impregnation method) ส่วนวิธีที่สองคือวิธีการแลกเปลี่ยนไอโอน (Ion-exchange method)

#### 2.5.6.2 ตัวเร่งปฏิกิริยา (Catalyst) [2]

ตัวเร่งปฏิกิริยา คือสารที่ช่วยเร่งอัตราการเกิดของปฏิกิริยาโดยที่ตัวเองไม่เกิดการเปลี่ยนแปลงทางเคมี กล่าวคือ ยังคงอยู่อย่างเดิมเมื่อปฏิกิริยาสิ้นสุดลง ถ้าเขียนรูปแสดงการเบรียบเทียบ

ระหว่างปฏิกิริยาที่ใส่ตัวเร่งปฏิกิริยา กับปฏิกิริยาที่ไม่ใส่ตัวเร่งปฏิกิริยา ดังรูปที่ 2.9 โดยรูปที่ 2.9 (a) แสดงให้เห็นว่าปฏิกิริยาที่ไม่ใส่ตัวเร่งปฏิกิริยามีเส้นยอดเพียงแห่งเดียว หมายถึงปฏิกิริยามีเพียงขั้นเดียว แต่มีพลังงานกระตุ้นสูงเทียบกับรูปที่ 2.9 (b) ปฏิกิริยาที่ใส่ตัวเร่งปฏิกิริยามีเส้นยอดเข้า 2 แห่ง หมายถึงปฏิกิริยานี้มี 2 ขั้น และมีพลังงานกระตุ้นต่ำกว่าจึงทำให้ปฏิกิริยาที่มีตัวเร่งปฏิกิริยาเกิดขึ้นเร็วกว่าแม้ว่าจะมีมากขั้นกว่าก็ตาม จึงกล่าวได้ว่าตัวเร่งปฏิกิริยาทำให้เกิดวิถีทางใหม่ของปฏิกิริยาและทำให้พลังงานกระตุ้นของปฏิกิริยาลดลง [4]



รูปที่ 2.9 การเปรียบเทียบปฏิกิริยาที่ใส่และไม่ใส่ตัวเร่งปฏิกิริยา (a) ไม่ใส่ตัวเร่งปฏิกิริยา (b) ใส่ตัวเร่งปฏิกิริยา [2]

ในเซลล์เชื้อเพลิงนั้น ตัวเร่งปฏิกิริยามีหน้าที่ 3 อย่างคือ ดูดซับแก๊ส (Adsorption) ส่งผ่าน อิเล็กตรอน (Electron transfer) และที่ผิwtัวเร่งปฏิกิริยาจะเป็นที่เกิดปฏิกิริยา (Surface reaction) ทั้งนี้การดูดซับแก๊สเป็นการยึดเหนี่ยวแบบโค瓦เลนท์ (Covalent bond) ระหว่างโมเลกุลที่ถูกดูดซับและผิwtัวเร่งปฏิกิริยา

ในช่วงแรกๆ ตัวเร่งปฏิกิริยาจะรีดกั๊กชันของออกซิเจนในเซลล์เชื้อเพลิงแบบพอลิเมอร์ของเชิงคือพาลลาเดียม (Palladium) [16] แต่เนื่องจากพาลลาเดียมมีแนวโน้มที่จะเกิดการกัดกร่อนที่อุณหภูมิประมาณ 85 องศาเซลเซียส แพลตินัมซึ่งมีราคาแพงกว่าจึงได้ถูกนำมาแทนพาลลาเดียม และทำให้สมรรถนะการทำงานของชั้วอิเล็กโทรดเสถียรกว่าและมีความไวในการเกิดปฏิกิริยาไฟฟ้า เช่นได้ดีกว่า ในเซลล์เชื้อเพลิงแบบพอลิเมอร์ของเชิงรุนแรกๆ ที่ใช้ในยานอวกาศ Gemini นั้น

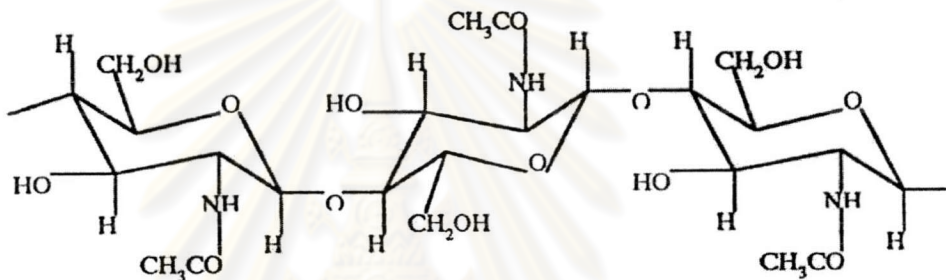
ปริมาณของแพลตินัมที่ใช้ในขั้วอิเล็กโทรดมีค่ามากถึง 35 มิลลิกรัมต่อตารางเซนติเมตร แต่ต่อมามีเมื่อการผลิต Nafion<sup>®</sup> มาใช้เป็นเยื่อแผ่นแลกเปลี่ยนไอออน ปริมาณของแพลตินัมที่ต้องการหั้งในขั้วแอนโอดและขั้วแคโทดมีค่าลดลงมาอยู่ที่ประมาณ 4 มิลลิกรัมต่อตารางเซนติเมตร

ความพยายามเพื่อปรับปรุงสมรรถนะการทำงานของขั้วอิเล็กโทรดโดยยังคงรักษาให้ปริมาณการใช้โลหะตะกูลสูง (Noble metal) มีค่าน้อยเหมือนเดิมและมีความทนทานต่อสภาพแวดล้อมมากขึ้นคือ การใช้โลหะผสมแพลตินัม ได้แก่ Pt-Ru, Pt-Ir, Pt-V, Pt-Rh, Pt-Cr, Pt-Co, Pt-Ni, Pt-Fe, Pt-Mn และ Pt-Pd เป็นต้น จากการศึกษาที่ศูนย์วิจัยระบบไฟฟ้าเคมีและไฮโดรเจนของมหาวิทยาลัย Taxas A&M ได้แสดงให้เห็นว่าโลหะผสมแพลตินัมที่เกาจะอยู่บนตัวรองรับคาร์บอน (Pt-Cr, Pt-Mn, Pt-Ni, Pt-Fe และ Pt-Co) ช่วยทำให้สมรรถนะการทำงานของอิเล็กโทรดในเรื่องการรับประจุไฟฟ้าเคมีได้สูงขึ้น [20] ทั้งนี้เนื่องมาจากพฤติกรรมการดูดซับทางเคมี (Chemisorption) ของออกซิเจนบนแพลตินัมกับโลหะผสมแพลตินัมจะแตกต่างกันที่ค่าความต่างศักย์ที่มากกว่า 0.8 โวลต์

นอกจากนี้ที่ศูนย์วิจัย Higashifujii Technical Center [21] ในประเทศญี่ปุ่น ได้ศึกษาการใช้โลหะผสมแพลตินัมจำนวน 10 ชนิด Pt-Ru, Pt-Ir, Pt-V, Pt-Rh, Pt-Cr, Pt-Co, Pt-Ni, Pt-Fe, Pt-Mn และ Pt-Pd มาใช้เป็นตัวเร่งปฏิกิริยาสำหรับขั้วแอนโอดของเซลล์เชือเพลิงแบบพอลิเมอร์ของแข็ง เพื่อพิสูจน์ว่าโลหะผสมคุณภาพที่สามารถทนทานต่อแก๊สคาร์บอนมอนอกไซด์ (CO) ที่ผิดปกติกับแก๊สไฮโดรเจนที่ป้อนเข้าขั้วแอนโอด แก๊สผสมดังกล่าวเกิดจากกระบวนการปฏิวัติของสารประกอบไฮดรocabon อาทิ เช่นในกระบวนการปฏิวัติของเมธanol แก๊สที่ได้จะมีปริมาณแก๊สคาร์บอนไดออกไซด์ (CO<sub>2</sub>) อยู่สูงถึงร้อยละ 25 และมีแก๊สคาร์บอนมอนอกไซด์อยู่ในปริมาณเล็กน้อย แต่เนื่องจากสมรรถนะการทำงานของเซลล์เชือเพลิงแบบพอลิเมอร์ของแข็งจะลดลงอย่างมากกับความเข้มข้นของแก๊สคาร์บอนมอนอกไซด์ที่มีเพียง 1-5 ppm ทั้งนี้เนื่องจากเกิดการดูดซับแก๊สคาร์บอนมอนอกไซด์บนแพลตินัมอย่างแรง วิธีการหลีกเลี่ยงปัญหาดังกล่าวสามารถทำได้ 2 วิธีคือ 1) โดยการพ่นอากาศปริมาณ 2 เปรอร์เซ็นต์เข้าไปที่ขั้วแอนโอดเพื่อลดความเป็นพิษของแก๊สคาร์บอนมอนอกไซด์ แต่วิธีนี้จะทำให้โครงสร้างและการควบคุมเซลล์เชือเพลิงแบบพอลิเมอร์ของแข็งมีความซับซ้อนมากขึ้นและ 2) โดยการทำให้ตัวเร่งปฏิกิริยารับขั้วแอนโอดมีความทนทานต่อแก๊สคาร์บอนมอนอกไซด์มากขึ้นโดยการใช้โลหะผสมแพลตินัม ผลการทดสอบพบว่าแอนโอดที่เตรียมมาจาก Pt-Ru จะสามารถทนต่อแก๊สคาร์บอนมอนอกไซด์ได้ดีที่สุด

## 2.6 ไคติน (Chitin) [22]

ไคตินเป็นสารโพลิเมอร์ธรรมชาติจำพวกคาร์บอไฮเดรตที่มีโมเลกุลยาวมากโดยไม่มีการแตกแขนง (Unbranched polysaccharide) สูตรโครงสร้างของไคตินเป็น Poly- $\beta$ -(1,4)-2-acetamino-2-deoxy-D-glucose หรือ Poly N-acetyl-glucosamine ซึ่งแต่ละหน่วยจะเข้ามต่อ กันด้วยพันธะ  $\beta$ -(1,4) และมีสูตรทั่วไปคือ  $(C_8H_{13}NO_5)_n$  ประกอบด้วยคาร์บอนร้อยละ 47.29 ไฮโดรเจนร้อยละ 6.45 ในไตรเจนร้อยละ 6.89 และออกซิเจนร้อยละ 39.37 [23] และเมื่อพิจารณา จากสูตรโครงสร้างของไคตินพบว่าไคตินเป็นสารโมเลกุลยาวที่ไร้ประจุ (Nonelectrolytic polymer) ดังแสดงในรูปที่ 2.10

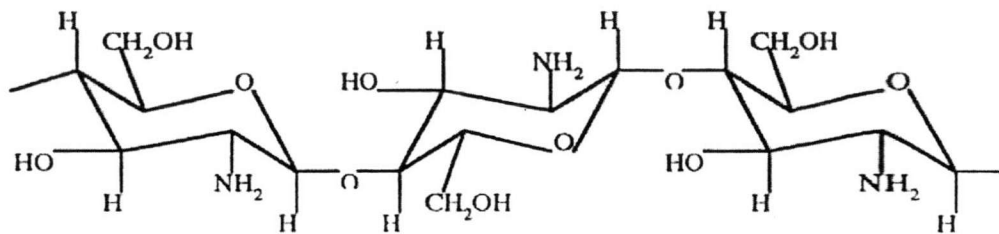


รูปที่ 2.10 โครงสร้างทางเคมีของไคติน [22]

โครงสร้างทางเคมีของไคตินมีความคล้ายคลึงกับเชลลูโลส จะต่างกันเพียงแต่หน่วยอยู่ ของเชลลูโลสเป็น D-glucose ส่วนหน่วยอยู่ของไคตินเป็นอนุพันธ์ของกลูโคสคือ N-Acetyl-glucosamine โดยที่หน่วยไฮดรอกซิล (-OH) ตรงคาร์บอนตำแหน่งที่สองของเชลลูโลสจะถูกแทนที่ ด้วย Acetylated amino (-NH-COCH<sub>3</sub>) [5] ดังนั้นจึงเห็นได้ว่าแท้จริงแล้วไคตินก็คืออนุพันธ์ของ เชลลูโลสชนิดหนึ่ง

## 2.7 ไคโตแซน (Chitosan) [22]

ไคโตแซนเป็นอนุพันธ์ของไคติน มีชื่อทางเคมีว่า Poly- $\beta$ -(1,4)-2-amino-2-deoxy-D-glucose สูตรทั่วไปคือ  $(C_8H_{11}O_4N)_n$  และมีสูตรโครงสร้างทางเคมีของไคโตแซนดังแสดงในรูปที่ 2.11



รูปที่ 2.11 โครงสร้างทางเคมีของไคโตแซน [23]

ไคโตแซนเกิดจากการกำจัดหมู่แอเซติลในไคตินออก (Deacetylation) โดยทิ้งหมู่แอเซติล ( $-CO-CH_3$ ) ที่คาร์บอนตำแหน่งที่สองจะถูกตัดออกเหลือเป็นหมู่เอเมิน ( $-NH_2$ ) ซึ่งไคโตแซนสามารถที่จะมีประจุบวกบนหมู่เอเมินได้ ดังนั้นการเพิ่มของหมู่เอเมินนี้จะไปเพิ่มสมบัติการเป็น Polycationic activity บนพอลิเมอร์ การเกิดไคโตแซนนั้นขึ้นอยู่กับการกำจัดหมู่แอเซติล โดยดูจากค่าร้อยละการกำจัดหมู่แอเซติล ไคตินที่มีค่าร้อยละการกำจัดหมู่แอเซติลประมาณ 50 จะถูกเรียกว่าไคโตแซน แต่โดยทั่วไปแล้วไคโตแซนจะมีค่าร้อยละการกำจัดหมู่แอเซติล อยู่ในช่วงร้อยละ 70 ถึง 90 ซึ่งก็คือยังคงมีหมู่  $N$ -Acetyl เหลืออยู่ในโครงสร้างประมาณ 10 ถึง 30 เปอร์เซ็นต์ ถ้าหมู่แอเซติลถูกกำจัดออกไปประมาณร้อยละ 90 ถึง 100 จะเรียกว่า Full deacetylation

## 2.8 สมบัติของไคตินและไคโตแซน [22]

สมบัติทางเคมีและกายภาพของไคตินและไคโตแซนดังแสดงในตารางที่ 2.1

ตารางที่ 2.1 สมบัติทางเคมีและกายภาพของไคตินและไคโตเซน [22]

Characteristic parameter	Chitin	Chitosan
Molecular weight (Dalton) <sup>a</sup>	>10 <sup>6</sup> (native chitin) (1-5) x 10 <sup>5</sup> (commercial product)	(1-5)x10 <sup>5</sup> (commercial product)
Degree of polymerization (Average no. of the repeating unit in a molecule)	600-1800	600-1800
X-ray diffraction (Peaks)	8 <sup>0</sup> 58 - 10 <sup>0</sup> 26 19 <sup>0</sup> 58 - 20 <sup>0</sup> 00	8 <sup>0</sup> 58 - 10 <sup>0</sup> 26 19 <sup>0</sup> 58 - 20 <sup>0</sup> 00
Idealized composition (Empirical composition)	C <sub>8</sub> H <sub>13</sub> O <sub>5</sub> N	C <sub>6</sub> H <sub>11</sub> O <sub>4</sub> N
Nitrogen content (%) (Commercial product)	6-7	7-9.5
%Moisture (Air dried product)	2-10	2-10
Extent of deacetylated (%)	10	60-80
Viscosity (cP)	Insoluble	250-2500 (1% in Acetic acid) Non-Newtonian and shear thinning
%Ash at 900 <sup>o</sup> C	<1.0	<1.0
Transition metals <sup>b</sup> , μg/g	<0.5	<0.5 <sup>c</sup>

<sup>a</sup>Molecular weight and degree of polymerization (DP) is variable and depend on the source. The commercial products have low molecular weight and degree of polymerization because of degradation during extraction process.

<sup>b</sup>Excluding Fe which is present but not detrimental to application

<sup>c</sup>Crab chitosan contain typically (μg/g): V=0.12; Cr=0.04; Mn=0.09; Ni=1.3; Cu=1.03; Ag= 0.02; Cd=0.22;

Hg=0.025 and Pb=0.15

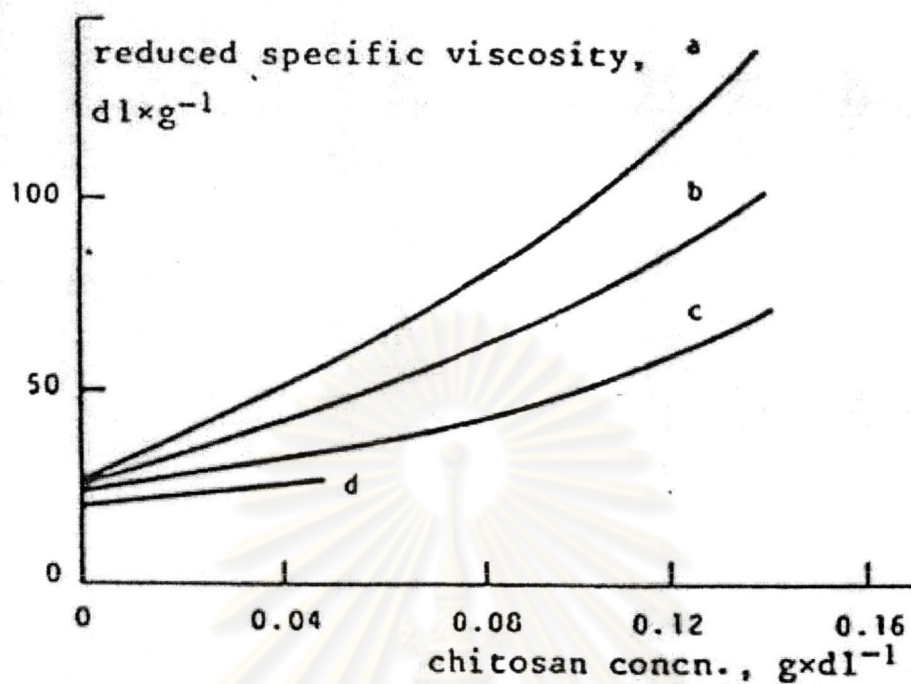
## 2.8.1 สมบัติทางเคมีและกายภาพของไคติน

### 2.8.1.1 การละลาย (Solubility)

ไคตินเป็นพอลิเมอร์ที่ไม่ประจุทำให้ไม่สามารถละลายได้ในน้ำ กรดอ่อน และด่าง แต่ไคตินสามารถละลายได้ในกรดแก่ เช่น กรดซัลฟูริก กรดไฮโดรคลอริก กรดฟอสฟอริกความเข้มข้นร้อยละ 78-79 โดยน้ำหนัก กรดคาร์บอคิลิก และกรดซัลฟอนิก เช่น กรดฟอร์มิก ไดคลอโรเอชิติก ไตรคลอโรเอชิติก และกรดมีเทนซัลฟอนิก ไคตินจะละลายในกรดฟอร์มิกที่มีความแรงของกรดสูง แต่ระบบตัวทำละลายนี้จะว่องไวต่ออนุภาคที่ทำให้การละลายของไคตินลดลง อย่างไรก็ตามสามารถจะปรับปรุงการละลายได้โดยการเติมเกลือที่ละลายน้ำได้ เช่น NaCl, NaBr, CaCl<sub>2</sub>, LiCl, KCl และ KSCN การละลายของไคตินในกรดแก่จะทำให้สายโซ่พอลิเมอร์เกิดการสลายตัวได้ (Degradation) และพบว่าตัวทำละลายประเภท Tertiary amide ( $R-CO-N-R_2$ ) ที่มี Lithium chloride (LiCl) ในปริมาณอย่างน้อยร้อยละ 5 โดยน้ำหนักต่อปริมาตร สามารถที่จะละลายไคตินได้โดยเฉพาะ N,N-Dimethyl-acetamine และ N-Methyl-2-pyrrolidinone ซึ่งระบบตัวทำละลายนี้ไม่มีผลทำให้ไคตินเกิดการสลายตัว นอกจากนี้แล้วไคตินยังสามารถละลายได้ในตัวทำละลาย Hexafluoroisopropanal (HFIP) และ Hexafluoroacetone sesquihydrate (HFAS) และ HFIP จะก่อให้เกิดความระคายเคืองและ HFAS เป็นสารที่มีพิษมากทำให้การใช้งานของตัวทำละลายทั้ง 2 นี้ถูกจำกัดไป

### 2.8.1.2 ความหนืด (Viscosity)

ความหนืดของสารละลายไคตินจะมีความสัมพันธ์แบบไม่เป็นเส้นตรง (Non-linear) กับระยะเวลาและความเข้มข้นของสารละลาย ดังแสดงในรูป 2.12 ความหนืดของสารละลายไคตินจะลดลงตามระยะเวลาถึงช่วงเวลาหนึ่งความหนืดจะคงที่ และเมื่อความเข้มข้นของสารละลายไคตินมากขึ้นจะทำให้ความหนืดเพิ่มขึ้น เนื่องจากสายโซ่พอลิเมอร์เกิดลักษณะ Entangle มากขึ้น นอกจากนี้อุณหภูมิของสารละลายยังมีผลต่อความหนืดซึ่งพบว่าเมื่อสารละลายมีอุณหภูมิสูงขึ้นจะทำให้มีความหนืดลดลง



รูปที่ 2.12 ค่าความหนืดของไคตินที่ละลายใน Formic acid anhydrous ที่อุณหภูมิ 2 องศาเซลเซียส ภายใต้บารอยากาศของไนโตรเจน วัดความหนืดที่ 25 องศาเซลเซียส โดยจุดตัดเป็นค่า Intrinsic viscosities, a = วันที่ 4, b = วันที่ 5, c = วันที่ 6 และ d = วันที่ 14 [22]

## 2.8.2 สมบัติทางเคมีและกายภาพของไคโตแซน

### 2.8.2.1 การละลาย (Solvability)

ไคโตแซนจะไม่ละลายน้ำที่มีค่าความเป็นกรดต่ำสูงกว่า 6.5 ตัวทำละลายที่เป็นด่างและ Mineral acid ที่เข้มข้น เช่น กรดซัลฟูริก ไคโตแซนสามารถละลายได้ในสารละลายกรดอนทริย์เจือจาก ได้แก่ สารละลายกรดอะซิติก สารละลายกรดซิตริก และสารละลายกรดฟอร์มิกที่มีความเข้มข้นตั้งแต่ 0.2-100 โดยปริมาตร [24] และในภาวะที่เป็นกรดน้ำมุกเมื่อมีส่วน (-NH<sub>2</sub>) จะถูกโปรตีนตัวไปอยู่ในรูปของหมู่ Cationic amino (-NH<sub>3</sub><sup>+</sup>) [22] นอกจากนี้ไคโตแซนยังสามารถละลายได้ในตัวทำละลายกรดอนทริย์เจือจาก ได้แก่ สารละลายไฮดรคลอริก สารละลายกรดไฮดริก และสารละลายกรดฟอร์มิกที่ความเข้มข้นร้อยละ 5 โดยปริมาตร ความสามารถในการละลายของไคโตแซนในสารละลายกรดชนิดต่าง ๆ ดังแสดงในตารางที่ 2.2

ตารางที่ 2.2 ความสามารถในการละลายของไคโตแซนในสารละลายกรดชนิดต่าง ๆ ที่ความเข้มข้นของกรดต่าง ๆ กัน [22]

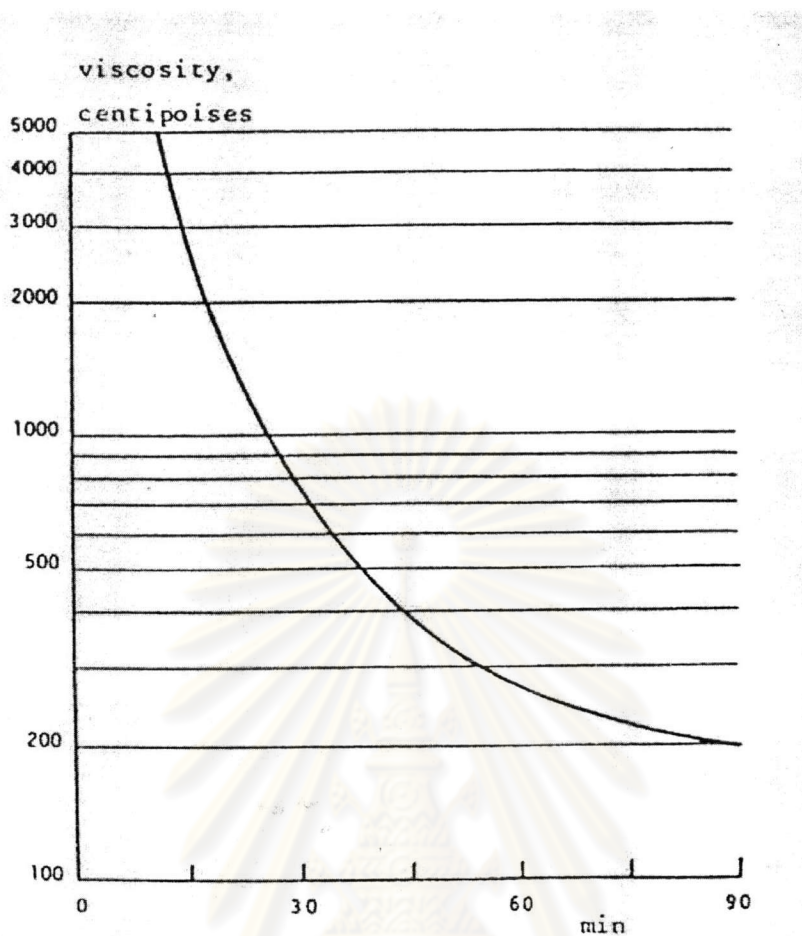
ชนิดของกรด	ความเข้มข้นของสารละลายกรด (v/v)				
	1%	5%	10%	50%	>50%
Acetic	+	+	+	+	
Adipic	+				
Citric	-				
Formic	+	+	+	+	+
Lactic	+	+	+		
Malic	+	+	+		
Tartaric	-		+		
Hydrochloric	+	-	-		
Nitric	+	-	-		
$H_3PO_4$	-	-	-		
Sulfuric	-	-	-		

#### หมายเหตุ

- + แสดงว่าไคโตแซนสามารถละลายได้
- แสดงว่าไคโตแซนไม่สามารถละลายได้
- \* แสดงว่าไคโตแซนไม่สามารถละลายได้ในกรดซัลฟูริกและกรดฟอฟอริก แต่สามารถละลายได้ในกรดฟอฟอริกที่ความเข้มข้นกรดน้อยกว่า 0.5%

#### 2.8.2.2 ความหนืด (Viscosity)

ความหนืดของสารละลายไคโตแซนขึ้นอยู่กับภาวะที่ใช้การกำจัดหมู่แอกเซติล (Deacetylation) ได้แก่ ความเข้มข้นของสารละลายโซเดียมไฮดรอกไซด์และเวลาที่ใช้ในการกำจัดหมู่แอกเซติล ซึ่งพบว่าการใช้สารละลายโซเดียมไฮดรอกไซด์เข้มข้นมากและเวลานาน จะทำให้ความหนืดของสารละลายลดลง เนื่องจากภาวะที่ใช้ในการกำจัดหมู่แอกเซติลรุนแรงโดยจะมีผลทำให้เกิดการแตกขาดของสายโซ่โมเลกุล เวลาที่ใช้ในการกำจัดหมู่แอกเซติลทำให้ความหนืดของสารละลายไคโตแซนเกิดการเปลี่ยนแปลงอย่างรวดเร็ว ดังแสดงในรูปที่ 2.13 ซึ่งพบว่าทำให้มีปัญหาในการผลิตไคโตแซนที่มีมวลโมเลกุลสูง



รูปที่ 2.13 ผลของเวลาที่ใช้ในการกำจัดหมู่แอกเซติด (ในสารละลายน้ำ NaOH ร้อยละ 50 อุณหภูมิ 118 องศาเซลเซียส) ที่มีต่อความหนืดของสารละลายน้ำไฮโดรเจน [22]

## 2.9 แหล่งของไฮดิน [22]

ในจำพวกพอลิเมอร์ชีวภาพทั้งหมด ไฮดินเป็นพอลิเมอร์ชีวภาพที่มีอยู่มากเป็นอันดับสอง รองจากเซลลูโลส (Cellulose) ไฮดินพบทั่วไปตามผนังเซลล์พีชและสัตว์ ในสัตว์แหล่งที่พบไฮดินอยู่เป็นจำนวนมากได้แก่ กลุ่ม Arthropoda ซึ่งประกอบด้วย Insecta (พวกแมลงต่าง ๆ) ได้แก่ ตัวด้วง แมลงสาบ และกุ้ง Crustacea ได้แก่ กุ้ง ปู ก้าม และเครย เป็นต้น โดยไฮดินจะทำหน้าที่เป็นไมเลกูลโครงร่างแข็งภายนอก (Exoskeleton) ซึ่งเป็นส่วนประกอบที่สำคัญของเปลือกกุ้งและแมลง รวมทั้งกระดองของปูและปลาหมึก ในพืชบางชนิดอาจมีไฮดินแทนเซลลูโลสหรือเกิดร่วมกับเซลลูโลสก็ได้ [25] นอกจากนี้ยังทำหน้าที่เป็นส่วนประกอบผนังเซลล์ของเชื้อรา เนื้ดและเยื่อสต์ รวมทั้งยังพบได้ในสัตว์ชั้นต่ำที่ไม่มีกระดูกสันหลังต่าง ๆ (Invertebrates) ในแหล่งที่พบไฮดินนั้นจะมีไฮดิน ไขมัน เม็ดสีและเกลือแคลเซียมเกิดขึ้นบนอยู่ด้วย ดังนั้นถ้าต้องการแยกเฉพาะ

ไคตินจะต้องกำจัดสารประกอบที่ปนอยู่ออก ไคตินที่พบในแหล่งต่าง ๆ จะมีปริมาณแตกต่างกัน ออกไปดังแสดงในตารางที่ 2.3

ตารางที่ 2.3 ปริมาณไคตินที่มีอยู่ในสิ่งมีชีวิตชนิดต่าง ๆ [22]

ชนิด	ปริมาณไคติน (%)	ชนิด	ปริมาณไคติน (%)
<u><b>Crustacea</b></u>		<u><b>Insects</b></u>	
Cancer (Crab)	72.1 <sup>c</sup>	Periplaneta (Cockroach)	2.0 <sup>a</sup>
Carcinus (Crab)	0.4-3.3 <sup>a</sup> 8.29 <sup>b</sup> 64.2 <sup>b</sup>	Blatella (Cockroach)	18.4 <sup>c</sup> 10 <sup>b</sup> 35 <sup>c</sup>
Paralithodes (King crab)	35 <sup>b</sup>	Colcoptera (Beetle)	5-15 <sup>b</sup>
Callinectes (Blue crab)	14 <sup>a</sup>	Tenebrio (Beetle)	27-35 <sup>c</sup>
Pleuroncodes (Red crab)	1.3-1.8 <sup>b</sup>	Diptera (True fly)	2.1 <sup>a</sup>
Crangon (Shrimp)	5.8 <sup>b</sup> 69.1 <sup>c</sup>	Pieris (Sulfur butterfly)	4.9 <sup>b</sup> 31.3 <sup>c</sup>
Nephropes (Lobster)	69.8 <sup>c</sup> 6.7 <sup>b</sup>	Grasshopper	54.8 <sup>c</sup> 64 <sup>c</sup>
Homarus (Lobster)	60.8-77.0 <sup>c</sup>	Bombyx (Silk worm)	2-4 <sup>c</sup>
Lepas (Barnacles)	58.3 <sup>c</sup>	Calleria (Wax worm)	20 <sup>c</sup> 44.2 <sup>c</sup> 33.7 <sup>c</sup>
<u><b>Fungi</b></u>			
<u><i>Aspergillus niger</i></u>	42.2 <sup>e</sup>		
<u><i>Penicillium notatum</i></u>	18.5 <sup>e</sup>	<u><b>Molluscan Organs</b></u>	
<u><i>Penicillium chrysogenum</i></u>	20.1 <sup>e</sup>	Clamshell	6.1 <sup>b</sup>
<u><i>Saccharomyces cereviciae</i></u>	2.9 <sup>e</sup>	Oyster shell	3.6 <sup>a</sup>
<u><i>Mucor rouxii</i></u>	44.5 <sup>e</sup>	Squid, skeletalpen	41.0 <sup>c</sup>
<u><i>Lactarius vellereus</i></u>	19.0 <sup>e</sup>	Krill, deproteinized shell	40.2 <sup>c</sup>
Alaskan shrimp	28 <sup>d</sup>	May (Beetle)	16 <sup>b</sup>

<sup>a</sup>Wet body weight

<sup>b</sup>Dry body weight

<sup>c</sup>Organ weight of cuticle

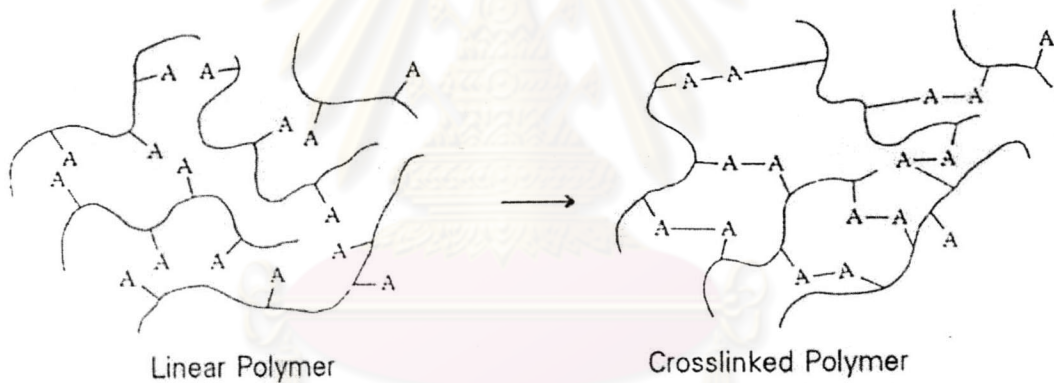
<sup>d</sup>Total dry weight of cuticle

<sup>e</sup>Dry weight of the cell wall

## 2.10 การเกิดโครงร่างตาข่าย (Crosslinking) [6]

ปฏิกิริยาโครงร่างตาข่าย (Crosslinking) เกิดขึ้นเนื่องจากการเกิดพันธะเคมีระหว่างสายโซ่โมเลกุล ซึ่งพอลิเมอร์จะมีสายโซ่เชื่อมโยงกันด้วยพันธะไอโอนิก เกิดโครงสร้างแบบโครงร่างสามมิติ (Three-dimension network) ลักษณะของการเกิดโครงร่างตาข่ายแบ่งออกได้ดังนี้

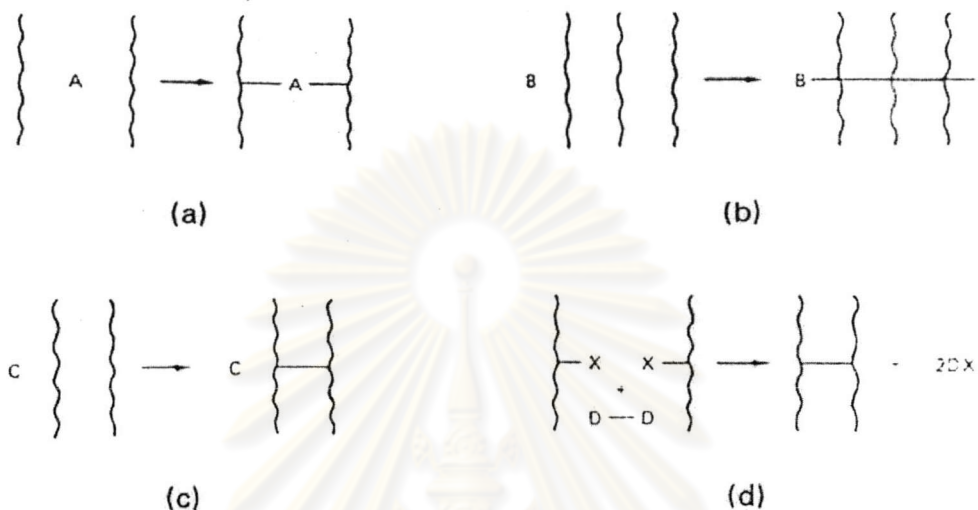
- การเกิดโครงร่างตาข่ายเมื่อพอลิเมอร์สายโซ่ตรง (Linear polymer) หรือพอลิเมอร์กิ่งก้าน (Branched polymer) นั้นมีหมู่ที่สามารถเกิดปฏิกิริยาได้ด้วยตัวเองและเกิดพันธะ A-A เมื่อพอลิเมอร์เหล่านี้อยู่ในภาวะที่ทำให้หมู่ฟังก์ชันเกิดปฏิกิริยาได้จะทำให้สายโซ่ทั้งหมดทำปฏิกิริยากันและเกิดการเชื่อมโยงกันด้วยพันธะ A-A ดังรูปที่ 2.14 ดังนั้นเมื่อมोเลกุลพอลิเมอร์เหล่านี้เกิดการโครงร่างตาข่ายจะทำให้ได้มोเลกุลที่มีขนาดใหญ่ การเกิดปฏิกิริยาโครงร่างตาข่ายแบบนี้เป็นแบบที่ง่ายที่สุด



รูปที่ 2.14 การเกิดโครงร่างตาข่ายของพอลิเมอร์ที่มีหมู่ฟังก์ชันหลายหมู่ [6]

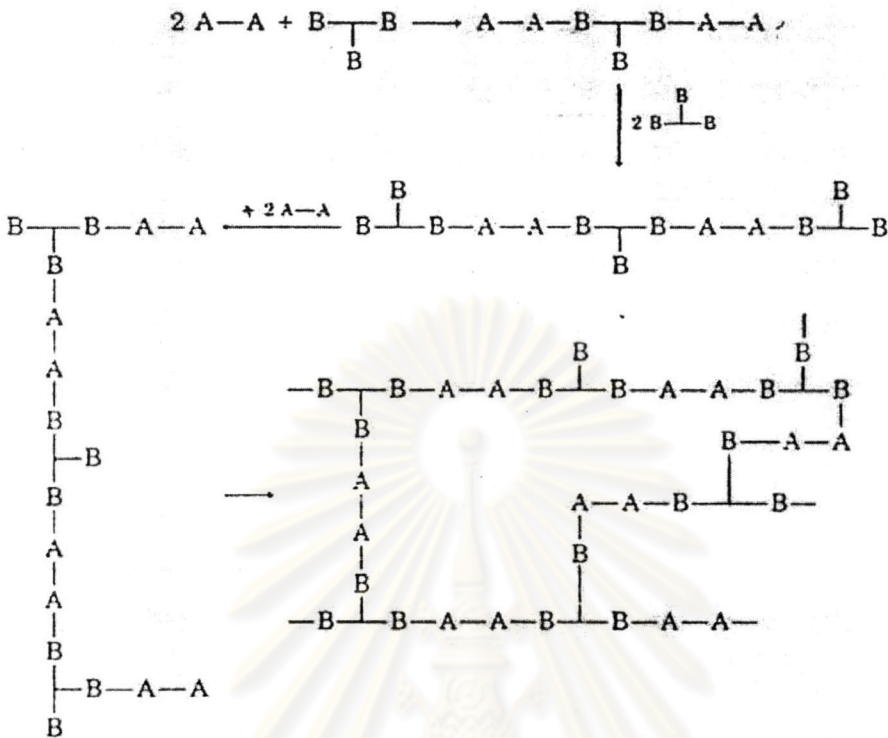
- การเกิดโครงร่างตาข่ายด้วยการใช้สารทำให้เกิดการเชื่อมโยง (Crosslinking agent) การเกิดปฏิกิริยาโครงร่างตาข่าย เกิดขึ้นเนื่องจากโมเลกุลพอลิเมอร์ทำปฏิกิริยาด้วยกันเอง แต่ปฏิกิริยาแบบง่ายๆ นี้ไม่สามารถทำให้เกิดโครงสร้างเป็นแบบโครงร่างสามมิติได้ ดังนั้นจึงมีการใช้สารทำให้เกิดการเชื่อมโยง ซึ่งสมบัติของสารช่วยในการเกิดปฏิกิริยาคือเป็นโมเลกุลที่มีหมู่ที่สามารถทำปฏิกิริยากับหมู่ฟังก์ชันที่อยู่บนสายโซ่พอลิเมอร์ได้อย่างน้อย 2 หมู่ขึ้นไป สารที่ทำให้เกิดการเชื่อมโยงอาจเป็นโมเลกุลที่เชื่อมระหว่างพอลิเมอร์ 2 โมเลกุล (รูป 2.15a) หรือโมเลกุลที่กระตุ้นให้เกิดปฏิกิริยาโครงร่างตาข่าย (รูป 2.15b) หรือเป็นตัวเร่งให้เกิดปฏิกิริยาโครงร่างตาข่าย

(รูป 2.15c) หรือเป็นสารที่เข้าไปดึงโมเลกุลของพอลิเมอร์เพื่อให้เกิดตำแหน่งที่ว่องไวต่อการเชื่อมโยง (รูป 2.15d)



รูปที่ 2.15 การเกิดโครงร่างตาข่ายของพอลิเมอร์เมื่อมีการใช้สารช่วยในการเกิดปฏิกิริยา [6] (a) Bridging agent. (b) Cross-linking initiator. (c) Catalytic crosslinking agent. (d) Active site generator

- การเกิดโครงร่างตาข่ายในระหว่างการพอลิเมอไรเซชันด้วยการใช้มอนومอร์ที่มีหมู่พังก์ชันเฉลี่ยมากกว่า 2 หมู่ (Polyfunctional monomers) แทนการใช้มอนومอร์ที่มีหมู่พังก์ชัน 2 หมู่ (Difunctional monomers) ปฏิกิริยานี้มักจะเกิดในปฏิกิริยาพอลิเมอไรเซชันของมอนومอร์ที่มีหมู่พังก์ชัน 2 หมู่กับมอนومอร์ที่มีหมู่พังก์ชัน 3 หมู่ (Trifunctional monomers) เช่นปฏิกิริยาของ Diol กับ Triisocyanate ดังแสดงในรูปที่ 2.16 ในช่วงแรกของปฏิกิริยานั้นพอลิเมอร์ยังมีมวลโมเลกุลต่ำซึ่งมีหมู่พังก์ชันหลายหมู่และเกิดกิงก้านมาก แต่ยังไม่เกิดพันธะเชื่อมโยง แต่ในช่วงหลังปฏิกิริยาถึงจุดหนึ่ง โมเลกุลจะเกิดพันธะเชื่อมโยงได้พอลิเมอร์ที่มีโครงร่างตาข่าย ซึ่งทำให้ความหนืดของสารเพิ่มขึ้นอย่างรวดเร็ว สารที่มีความหนืดมากนี้เรียกว่าเจล (Gel)



รูปที่ 2.16 การเกิดโครงร่างตาข่ายขณะเกิดพลิเมอไรเซ็นด้วยการใช้มอนомอร์ทีมีหมุ่ฟังก์ชันหลายหมู่ [6]

#### งานวิจัยที่เกี่ยวข้อง

สถานการณ์งานวิจัยและพัฒนาเซลล์เชื้อเพลิงในประเทศไทย ได้แก่ มหาวิทยาลัยเทคโนโลยีพระจอมเกล้าธนบุรี ทำการวิจัยเซลล์เชื้อเพลิงแบบเกลือคาร์บอนเดอลอม (MCFC) และเซลล์เชื้อเพลิงแบบเยื่อแผ่นแลกเปลี่ยนโปรตอน (PEMFC) มหาวิทยาลัยเชียงใหม่ ทำการวิจัยเซลล์เชื้อเพลิงแบบเยื่อแผ่นแลกเปลี่ยนโปรตอน ศูนย์เทคโนโลยีโลหะและวัสดุแห่งชาติ (MTEC) ทำการวิจัยเซลล์เชื้อเพลิงแบบออกไซด์ของแมง (SOFC) นอกจากนี้การไฟฟ้าฝ่ายผลิตแห่งประเทศไทยได้เคยติดตั้งโรงไฟฟ้าสากิลเซลล์เชื้อเพลิงแบบกรดฟอสฟอริกของบริษัท Fuji Electric ขนาดกำลังการผลิต 50 กิโลวัตต์ โดยใช้แก๊สธรรมชาติเป็นเชื้อเพลิง

Zaidi S. M. J. และคณะ (2000) [26] ศึกษาสมบัติด้านการนำปฏอตอนของเยื่อแผ่นประเทพอลิออกซ่าไดอะซอล (POD) ทั้งที่ผ่านและไม่ผ่านการกระตุนด้วยกรดฟอฟอริก ( $H_3PO_4$ ) เยื่อแผ่นดังกล่าวเตรียมโดยวิธีการเปลี่ยนเฟส (Phase inversion) เยื่อแผ่นที่เตรียมได้นั้นจะมีรูพรุนขนาดใหญ่ รูปร่างเป็นทรงกระบอกตั้งจากกับผิวน้ำ มีเส้นผ่านศูนย์กลางประมาณ 10 ไมโครเมตรหรือมากกว่าซึ่งอยู่กับขั้นตอนในการสังเคราะห์ (Synthesis procedure) โครงสร้าง เช่นนี้จะมีผลต่อความสามารถในการแยก (Separative ability) ของเยื่อแผ่น นอกจากนี้เยื่อแผ่นยังคงขึ้นช้าไม่เสถียรและเปราะ ทำให้ไม่เหมาะสมต่อการนำไปใช้ในเซลล์เชื้อเพลิง การอัดเชิงกลจะช่วยลดความพรุนและช่วยเพิ่มเสถียรภาพทางกายภาพ (Physical stable) ทำให้แข็งแรงและยึดหยุ่นขึ้นด้วย การอัดเยื่อแผ่นที่ความดัน 3.4 ตันต่อตารางเซนติเมตร จะช่วยลดความพรุน ในขณะที่การอัดที่ความดัน 5.7 ตันต่อตารางเซนติเมตร จะทำให้เยื่อแผ่นปราศจากรูพรุนขนาดใหญ่ และความหนาของเยื่อแผ่นจะลดลง 3-10 เท่า ค่าการนำปฏอตอนของเยื่อแผ่น POD ที่ไม่ผ่านการกระตุน จะมีความซึ่งสัมพทธ์เท่ากับ 100 เปอร์เซ็นต์ มีค่าต่ำคือประมาณ  $10^{-7}$  ซีเมนต์ต่อเซนติเมตร และเกือบจะไม่ขึ้นกับอุณหภูมิในช่วงที่ทำการทดลองคือช่วง 25-90 องศาเซลเซียส การนำปฏอตอนเกิดขึ้นคล้ายกลไกการนำปฏอตอนเชิงของเหลว (Liquid-like mechanism) และเป็นผลเนื่องจากน้ำเพียงอย่างเดียว ค่าการนำปฏอตอนของเยื่อแผ่นที่ภาวะแห้ง (Dry stage) จะมีค่าน้อยกว่า 10-100 เท่าของค่าการนำปฏอตอนของเยื่อแผ่นที่ความซึ่งสัมพทธ์เท่ากับ 100 เปอร์เซ็นต์ เยื่อแผ่นก่อนและหลังการอัดจะมีค่าการนำปฏอตอนต่างกันเพียงเล็กน้อย สำหรับเยื่อแผ่น POD ที่ผ่านการกระตุนด้วยกรดฟอฟอริก เยื่อแผ่นที่ไม่ผ่านการอัดจะมีค่าการนำปฏอตอนสูงกว่า เนื่องจากเยื่อแผ่นที่ไม่ได้ผ่านการอัดจะมีสัดส่วนซ่องว่างมากกว่าทำให้มีกรดบรรจุอยู่ในรูพรุนของเยื่อแผ่นมากกว่า ทำให้เกิดเส้นทางการนำปฏอตอน (Conduction pathway) ได้มากกว่านั้นเอง จากการเขียนกราฟแบบอาร์เรนเนียส (Arrhenius plots) เมื่ออุณหภูมิเพิ่มขึ้นเยื่อแผ่นที่ผ่านการกระตุน กราฟเกือบจะเป็นเส้นตรงในช่วงอุณหภูมิที่ศึกษาและมีพลังงานกระตุนของกลไกการเคลื่อนที่ (Transfer mechanism) ต่ำ แต่เยื่อแผ่นที่มีกรดที่เป็นของเหลวบรรจุอยู่นั้นอาจจะไม่มีความเสถียร เพียงพอที่จะยังคงมีค่าการนำปฏอตอนสูงในช่วงเวลานานหรือที่อุณหภูมิที่สูงกว่าที่ศึกษานี้ อย่างไรก็ตามจากการทดลองพบว่าเยื่อแผ่น POD ที่ผ่านการกระตุนจะยังคงมีค่าการนำปฏอตอนสูงที่อุณหภูมิ 150 องศาเซลเซียสและค่าการนำปฏอตอนจะลดลงเพียงเล็กน้อยเท่านั้นหลังจากที่เก็บไว้ 1 เดือนในเซลล์ในแนวตั้งตรง ในกรณีผลของการนำปฏอตอนของเยื่อแผ่นที่ผ่านการกระตุนจะยังคงสูงกว่าเยื่อแผ่นที่ไม่ผ่านการกระตุนในช่วงอุณหภูมิที่สูงกว่า 150 องศาเซลเซียส สำหรับการแพร์ฟันของสารในเยื่อแผ่น POD นั้น เมchanol จะสามารถแพร์ฟันได้น้อย ซึ่งสามารถนำมาประยุกต์ใช้เป็นเยื่อแผ่นแลกเปลี่ยนปฏอตอนเพื่อใช้ใน

เซลล์เชือเพลิงแบบเมทานอลได้ แต่อย่างไรก็ตามจำเป็นที่จะต้องทำการทดสอบเยื่อแผ่นชนิดนี้ในภาระการปฏิบัติงานจริงในเซลล์เชือเพลิงอีกครั้ง

Bevers D. และคณะ (1996) [27] ศึกษาผลของการเคลือบ (Coating) พอลิเตตระฟลูออดิโอเอชีลีน (PTFE) บนคาร์บอนเปเปอร์ต่อสมบัติต่าง ๆ สำหรับเซลล์เชือเพลิงแบบเยื่อแผ่นแลกเปลี่ยนโปรดอน คาร์บอนที่นำมาศึกษาคือ Sigri PE 704 อุณหภูมิที่ใช้ในการ Sintering คือ 360-420 องศาเซลเซียส ซึ่งเป็นช่วงอุณหภูมิที่ทำให้ PTFE ละลายได้เพียงเล็กน้อยคือประมาณ 8 เปอร์เซ็นต์โดยน้ำหนักที่อุณหภูมิ 360 องศาเซลเซียส และ 10 เปอร์เซ็นต์โดยน้ำหนักที่อุณหภูมิ 420 องศาเซลเซียส จากการศึกษาถึงผลของอุณหภูมินในการ Sintering สำหรับเปอร์เซ็นต์ PTFE ในช่วง 0-200 เปอร์เซ็นต์โดยน้ำหนักต่อค่าเปอร์เซ็นต์ PTFE หลังการ Sintering พบว่าไม่มีแนวโน้มที่สามารถลดลงได้ เนื่องจากน้ำหนักส่วนที่หายไปนั้นจะรวมถึงบริมาณน้ำที่ระเหยออกไปด้วยซึ่งเป็นส่วนที่ไม่สามารถลดได้ การศึกษาถึงความดันลด (Pressure drop) ของการป้อนแก๊สผ่านแผ่นคาร์บอนเปเปอร์นั้น พบว่าเมื่อเพิ่มอุณหภูมิในการ Sintering ความดันลดจะมีค่าลดลง เนื่องจากเมื่อเพิ่มอุณหภูมิจะมีผลทำให้ PTFE ระหว่างเส้นใย (Fibres) ถูกกำจัดออกไปมากขึ้น ทำให้แก๊สสามารถไหลผ่านได้ดีขึ้น นอกจากนี้ยังพบว่าที่เปอร์เซ็นต์ PTFE สูงขึ้นความแตกต่างระหว่างความดันลดก่อนและหลังการทำ Sintering จะมีค่ามากขึ้น ในกรณีของค่าความนำไฟฟ้าพบว่าเมื่อเพิ่มอุณหภูมิในการทำ Sintering จะทำให้ค่าความนำไฟฟ้าลดลง น่าจะเกิดเนื่องจาก PTFE เกิดการเคลือบได้ดีขึ้น ทำให้มีสมบัติเป็นอนุวนมากขึ้น แต่ในความเป็นจริงแล้วคาร์บอนเปเปอร์ที่ไม่ผ่านการทำ Sintering ความมีค่าความนำไฟฟ้าต่ำกว่าคาร์บอนเปเปอร์ที่ผ่านการทำ Sintering ที่เป็นเช่นนี้อาจเนื่องมาจากการข้อจำกัดของเครื่องมือ เนื่องจากเป็นการวัดความต้านทานที่มีช่วงต่ำ ส่วนผลของเปอร์เซ็นต์ PTFE ต่อค่าความไม่ชอบน้ำ (Hydrophobicity) พบว่าเมื่อเปอร์เซ็นต์ PTFE มีค่าเพิ่มขึ้นจะมีผลให้ค่าความไม่ชอบน้ำมีค่ามากขึ้น

Oetjen H. F. และคณะ (1996) [28] ทดลองใช้ Pt, Pt<sub>0.7</sub>Ru<sub>0.3</sub> และ Pt<sub>0.5</sub>Ru<sub>0.5</sub> เป็นตัวเร่งปฏิกิริยาที่แอกอนด แล้วใช้ Pt เป็นตัวเร่งปฏิกิริยาที่แคโทด โดยทดลองที่อุณหภูมิ 80 องศาเซลเซียส ใช้แก๊สไฮโดรเจนบริสุทธิ์และแก๊สไฮโดรเจนที่มีแก๊สคาร์บอนมอนอกไซด์เจือปนอยู่ 25 – 250 ppm ได้เปรียบเทียบความทนทานต่อแก๊สคาร์บอนมอนอกไซด์ระหว่างแอกอนดที่ใช้สารประกอบ PtRu กับโลหะ Pt พบว่าแอกอนดที่ใช้ Pt<sub>0.5</sub>Ru<sub>0.5</sub> ทำงานได้ดีที่สุดในภาวะที่แก๊สไฮโดรเจนมีแก๊สคาร์บอนมอนอกไซด์เจือปนอยู่ โดยมีความหนาแน่นกำลัง (Power density) สูงที่สุดโดยสูงเป็น 4 เท่าของแอกอนดที่ใช้โลหะ Pt เป็นตัวเร่งปฏิกิริยา และให้ความหนาแน่นกระแส (Current density)

เท่ากับ 0.4 แคอมเพร็ตต่อตารางเซนติเมตร แต่จะให้ผลเกือบจะไม่แตกต่างกันเมื่อใช้ แก๊สไฮโดรเจน ที่เจือปนด้วยแก๊สคาร์บอนมอนอกไซด์ 100 ppm กับเมื่อใช้แก๊สไฮโดรเจนบริสุทธิ์

Byun H. S. และคณะ (1994) [29] ศึกษาการซัลฟูเนชัน (Sulfonation) เยื่อแผ่นโพลิสไตรีนชนิดไม่สมมาตรที่ถูกทำให้เกิดโครงร่างตาข่ายโดยใช้ไดวินิลเบนซีน (Divinyl benzene) เป็นสารเชื่อมขวาง พบร่วงการเพิ่มเวลาในการซัลฟูเนชัน จะมีผลทำให้ค่าการแลกเปลี่ยนไอออน (Ion exchange capacity) มีค่าสูงขึ้น เนื่องจากเมื่อเพิ่มเวลามากขึ้นจะทำให้มีกลุ่มซัลฟูเนต (Sulfonate group) มากขึ้นนั่นเอง การเพิ่มความหนาแน่นของโครงร่างตาข่าย (Crosslinking degree) มีผลทำให้สัดส่วนการบวม (Swelling ratio) มีค่าลดลง เนื่องจากทำให้โครงร่างตาข่าย (Network) มีความแข็งแรงเพิ่มขึ้น อย่างไรก็ตามถ้าเยื่อแผ่นผ่านการซัลฟูเนชันแล้วจะให้ผลในทางตรงกันข้าม กล่าวคือการเพิ่มความหนาแน่นของโครงร่างตาข่าย จะมีผลทำให้ค่าสัดส่วนการบวมมีค่าเพิ่มขึ้น อาจเกิดเนื่องจากการเกิดปฏิกิริยาระหว่างโมเลกุลที่เป็นตัวเชื่อม (Bridging molecules) กับกรดซัลฟูริก ซึ่งมีผลทำให้โครงร่างตาข่ายลดลง ทั้งนี้อาจมีผลเนื่องจากหมู่พังก์ชัน (Functional group) ของส่วนที่ไม่เกิดโครงร่างตาข่ายร่วมด้วยและอาจเกิดเนื่องจากการเกิดวงแหวนภายในโครงสร้างโมเลกุลอีกด้วย นอกจากนี้ยังพบว่าการเพิ่มเวลาในการเกิดซัลฟูเนชันหรือการเพิ่มความหนาแน่นของโครงร่างตาข่าย จะมีผลทำให้มุมสัมผัสน้ำ (Contact angle) มีค่าลดลง มีผลทำให้ค่าความชอบน้ำมีค่ามากขึ้น

Sabnis S. และ Block L. (1997) [30] ศึกษาการวิเคราะห์ค่าการกำจัดหมู่แอเซติล (Degree of N-deacetylation, DD) ของไคโตแซน โดยใช้วิธี Infrared spectroscopy techniques เนื่องจากการวิเคราะห์ในหลายฯ เทคนิค จะต้องละลายโพลิเมอร์ในตัวทำละลายที่เหมาะสมและใช้ได้ดีกับไคโตแซนที่มีค่า DD ประมาณร้อยละ 70 หรือมากกว่าเท่านั้น แต่การวิเคราะห์ด้วยวิธีดังกล่าวไม่ต้องละลายไคโตแซนในตัวทำละลาย แต่จะวัดค่า Absorbance ที่ 1655 และ 3450 ซม.<sup>-1</sup> เท่านั้น ซึ่งค่า DD จะสามารถคำนวณได้จากสมการที่ได้จากการทดสอบเทียบ (Calibration curve) โดยใช้ค่า Absorbance ratio [ $A_{1655}/A_{3450}$ ] ดังสมการที่ 2.15

$$DD = 97.67 - \left[ 26.486 \left( \frac{A_{1655}}{A_{3450}} \right) \right] \quad -----2.15$$

ซึ่งสมการนี้มีค่า  $r^2 = 0.976$  ( $n=12$ )

Fichaux L. และคณะ (1998) [31] ศึกษาสมบัติการแพร์ฟ่านของแก๊สคาร์บอนไดออกไซด์ แก๊สออกซิเจน และน้ำของเยื่อแผ่นไคโตแซนที่มีค่าร้อยละของหมู่แอเซติล (Acetylation degree) ในช่วง 2-50 เพื่อนำมาประยุกต์ใช้กับการบรรจุอาหาร พบว่าไคโตแซนที่ร้อยละของหมู่แอเซติล เท่ากับ 27 และ 50 จะมีค่าร้อยละการดูดซับน้ำไกล์เคียงกันคือประมาณ 20 ที่ความดันสัมพัทธ์เท่ากับ 0.7 และมีค่าลดลงเล็กน้อยสำหรับไคโตแซนที่มีร้อยละของหมู่แอเซติล เท่ากับ 20 คือมีค่าประมาณ 16 ซึ่งค่าร้อยละการดูดซับน้ำที่ได้นี้จะสัมพันธ์กับมวลของน้ำที่ดูดซึมโดยหน่วยมอนомер (Monomer unit) ส่วนสมบัติการให้อิน้ำแพร์ฟ่านของเยื่อแผ่นไคโตแซน การแพร์ฟ่านของไอน้ำจะมีค่าต่ำเมื่อ  $P/P_0$  น้อยกว่า 0.4 แต่ค่าการแพร์ฟ่านของไอน้ำจะมีค่าเพิ่มขึ้นอย่างรวดเร็ว เมื่อ  $P/P_0$  มีค่าระหว่าง 0.4-0.7 ส่วนค่าสัมประสิทธิ์การแพร์ (Diffusion coefficients, D) จะมีค่าเพิ่มขึ้นและเมื่อ  $P/P_0$  มีค่าระหว่าง 0.7-1 ค่าสัมประสิทธิ์การแพร์และค่าการละลาย (Solubility) จะมีค่าเพิ่มขึ้น แต่เมื่อ  $P/P_0$  มีค่าเท่ากับ 1 สมบัติการด้านการแพร์ฟ่านของไอน้ำจะมีค่าลดลง ส่วนสมบัติด้านการแพร์ฟ่านของแก๊ส เยื่อแผ่นไคโตแซนสามารถด้านการแพร์ฟ่านของแก๊สได้ดีในภาวะที่ไม่มีน้ำ ซึ่งมีค่าสัมประสิทธิ์การแพร์ฟ่าน (Permeability coefficients,  $P_e$ ) น้อยกว่า 0.7 barrer และมีค่าสัมประสิทธิ์การแพร์ต่ำ ดังจะเห็นได้จากไคโตแซนที่มีร้อยละของหมู่แอเซติล เท่ากับ 27 จะมีค่า  $Pe_{CO_2}$  เท่ากับ 0.03 barrer  $Pe_{O_2}$  เท่ากับ 0.02 barrer  $D_{CO_2}$  เท่ากับ  $1.5 \times 10^{-11}$  ตารางเซนติเมตรต่อวินาที และ  $D_{O_2}$  เท่ากับ  $1.7 \times 10^{-11}$  ตารางเซนติเมตรต่อวินาที แต่ถ้านำเยื่อแผ่นไคโตแซนไปทำให้เกิดสมดุลในน้ำโดยมีค่าความดันสัมพัทธ์เท่ากับ 1 จะทำให้ค่า  $Pe$  เพิ่มขึ้นอย่างมาก กล่าวคือ  $Pe_{CO_2}$  เท่ากับ 3.1 barrer  $Pe_{O_2}$  เท่ากับ 0.4 barrer จะเห็นได้ว่าเมื่อนำเยื่อแผ่นไปทำให้สมดุลในน้ำจะส่งผลต่อค่า  $Pe_{CO_2}$  มากกว่าค่า  $Pe_{O_2}$  ซึ่งจะไปมีผลต่อค่า  $CO_2/O_2$  selectivity กล่าวคือ  $Pe_{CO_2}/Pe_{O_2}$  จะมีค่าเพิ่มขึ้นจาก 1.5 เป็น 8 จากผลการทดลองดังกล่าวเยื่อแผ่นไคโตแซนสามารถนำมาใช้บรรจุอาหารในภาวะที่มีความชื้นสัมพัทธ์ต่ำได้

## ศูนย์วิทยทรัพยากร จุฬาลงกรณ์มหาวิทยาลัย